

Program EVALPLOT  
(Version 2018-1)

by

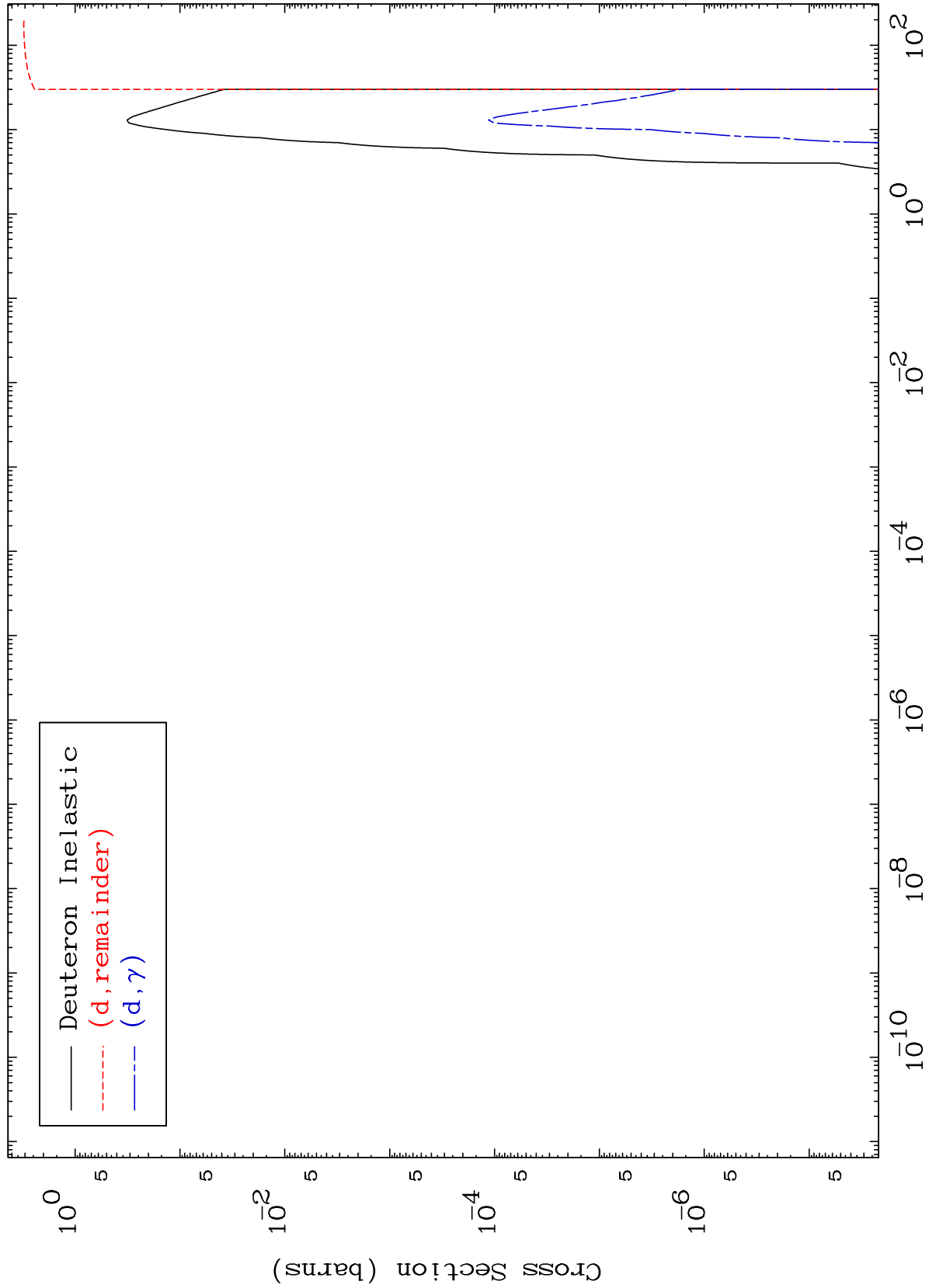
Dermott E. Cullen  
(Present Contact Information)

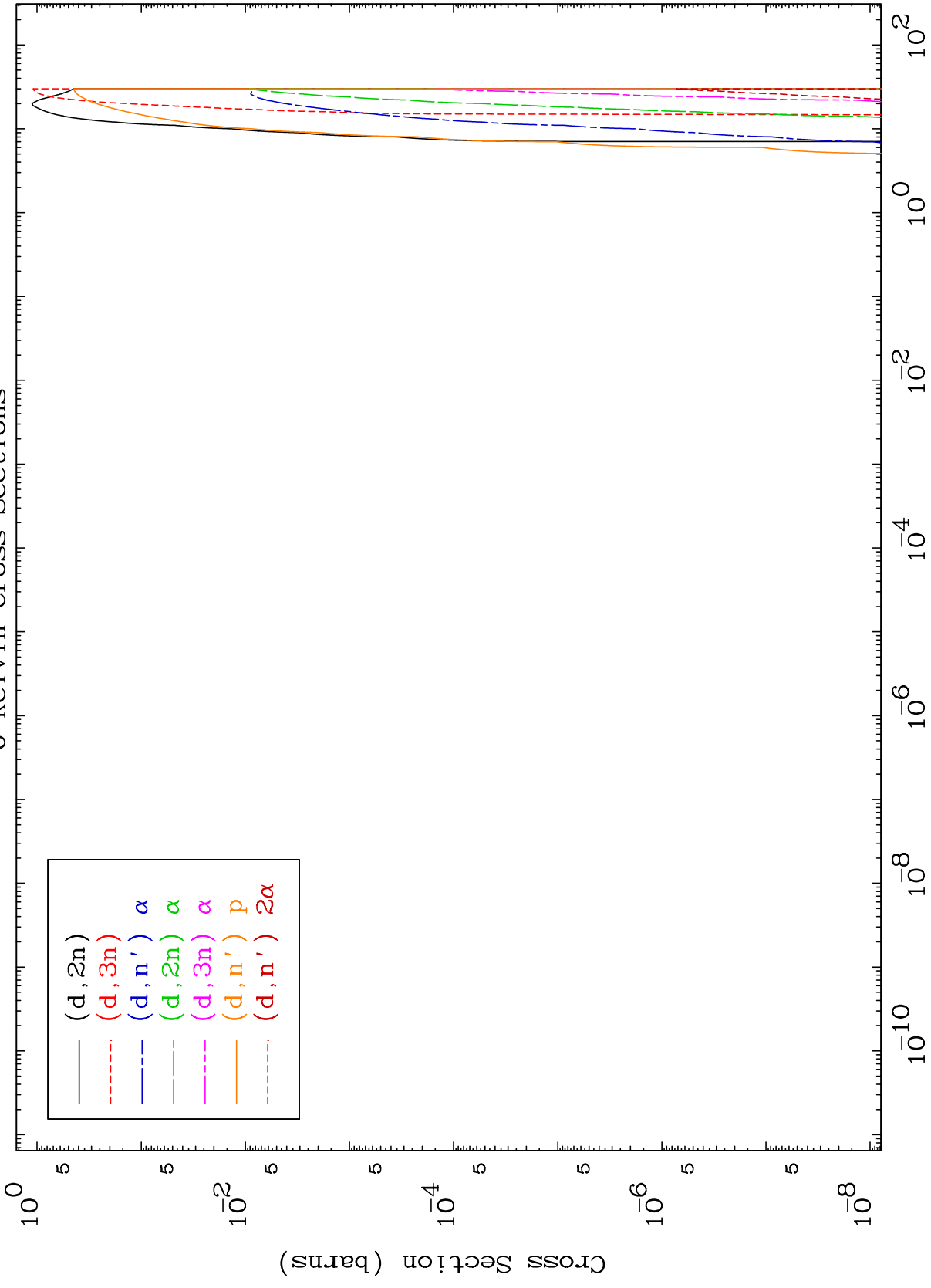
Dermott E. Cullen  
1466 Hudson Way  
Livermore, CA 94550  
U.S.A.

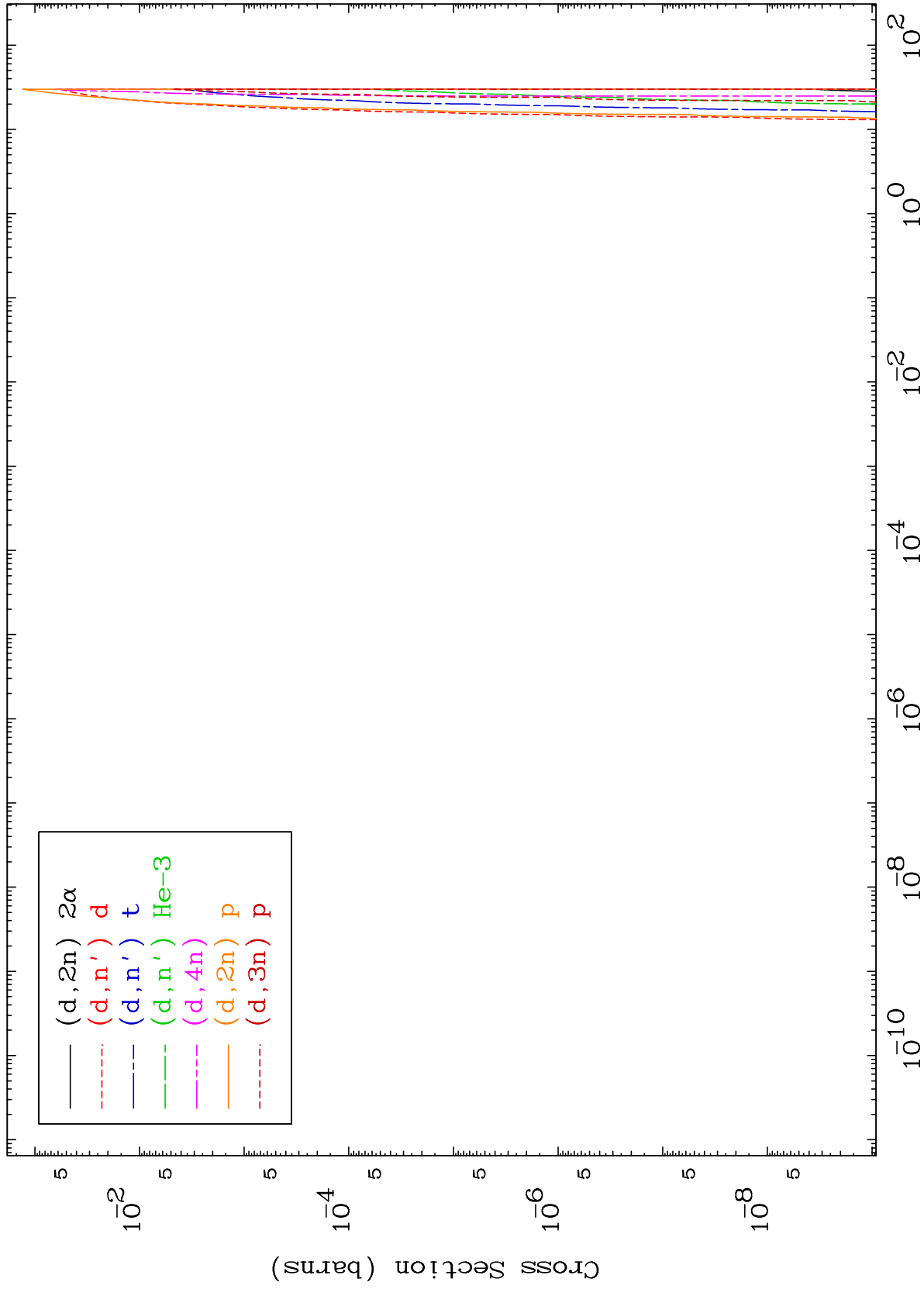
Tele: 925-443-1911

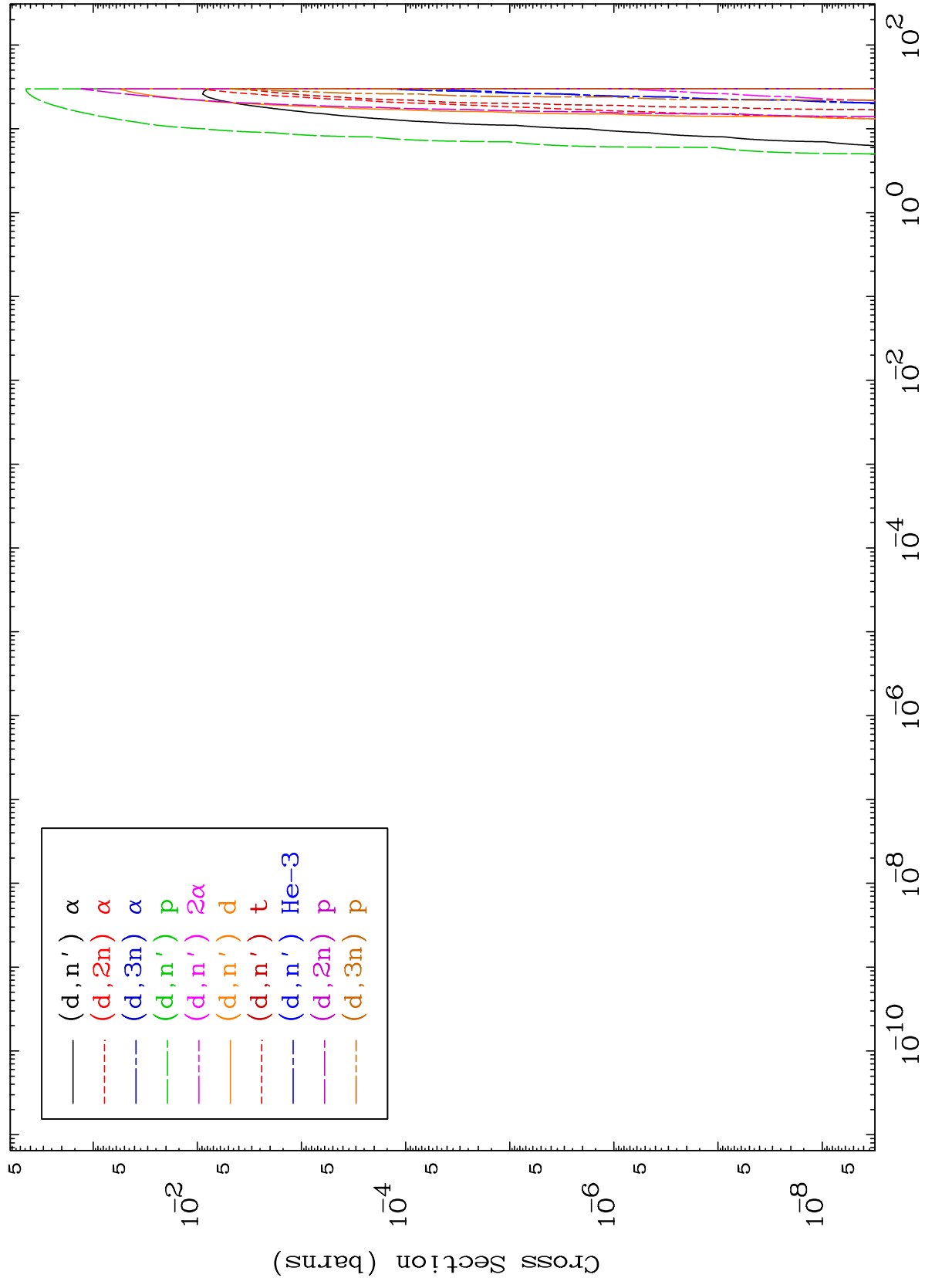
E.Mail:redcullen1@comcast.net  
Web:redcullen1.net/HOMEPAGE.NEW

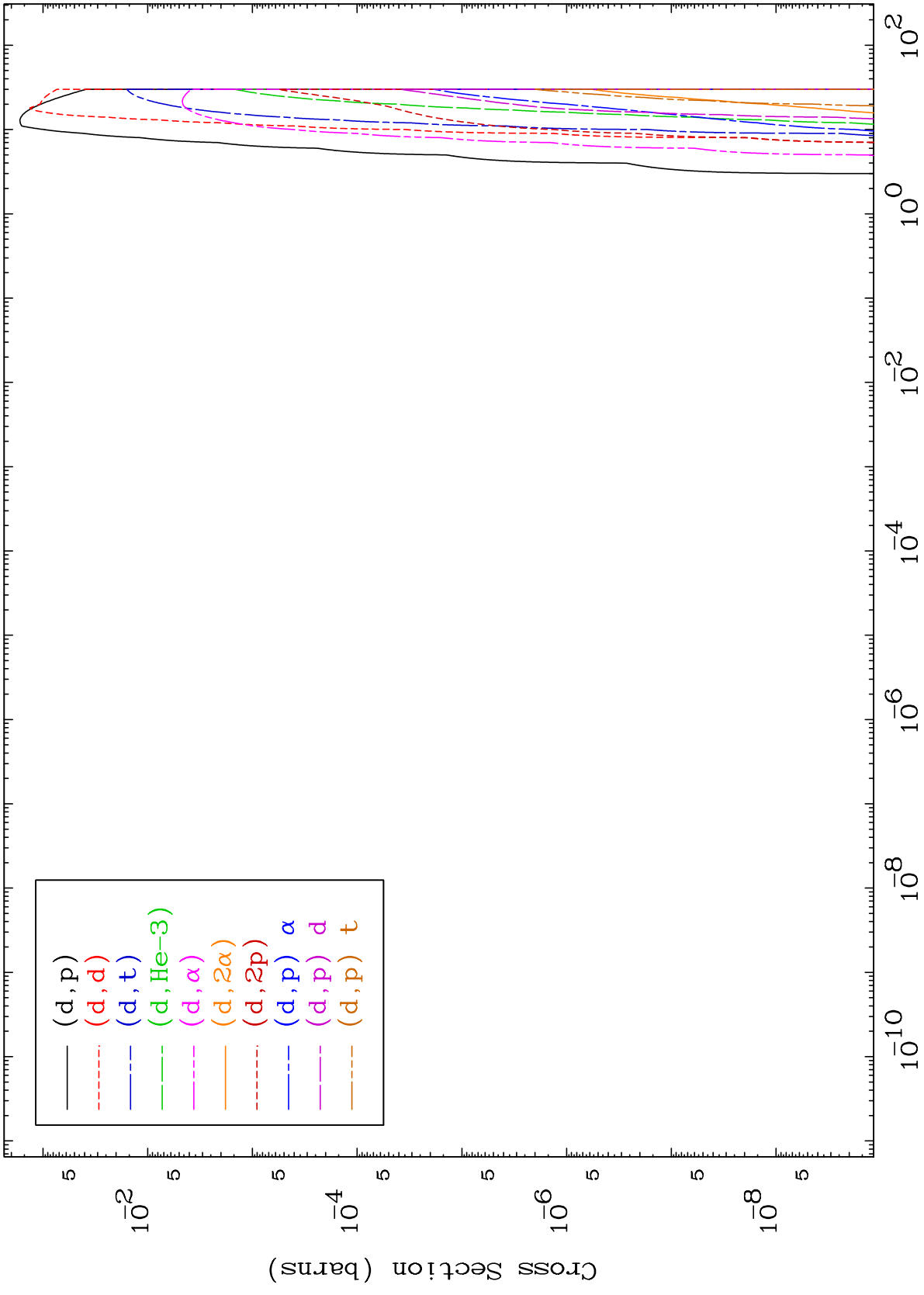
Press Mouse Button to Start







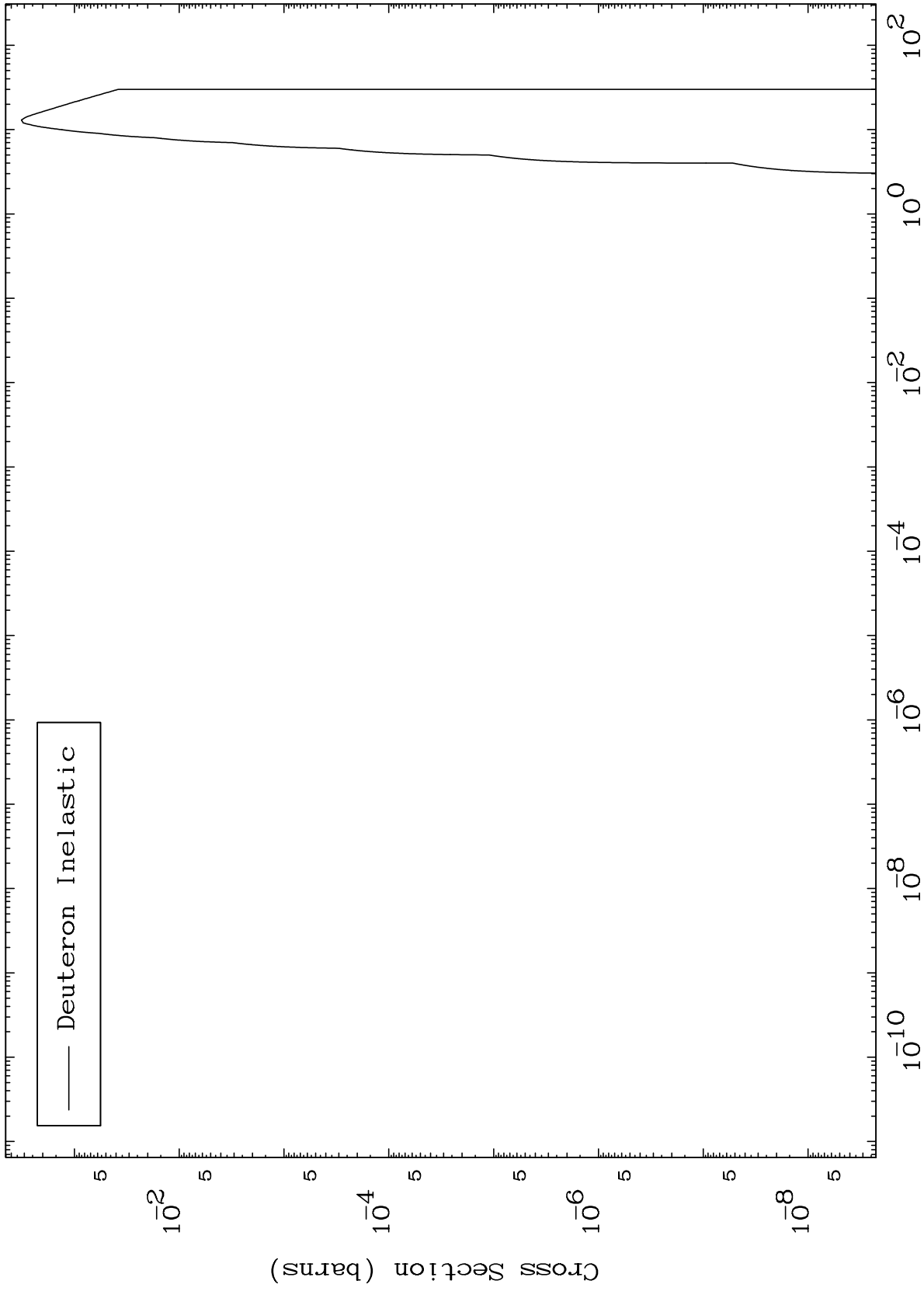




MAT 8102

(d,n') Level  
0 Kelvin Cross Sections

81-Tl-195



6

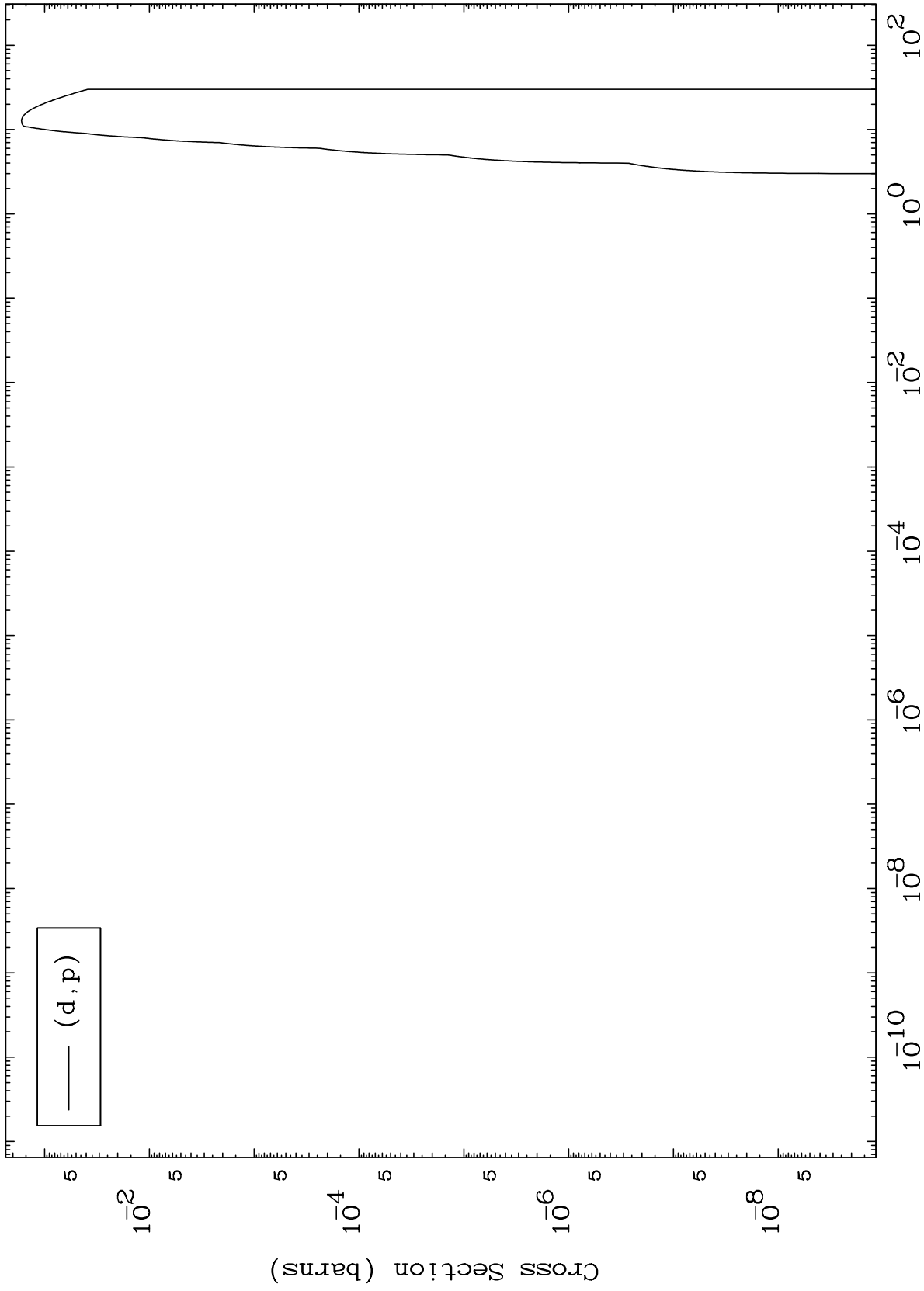
Incident Energy (MeV)

81-Tl-195

MAT 8102

(d,p) Levels  
0 Kelvin Cross Sections

81-Tl-195



7

Incident Energy (MeV)

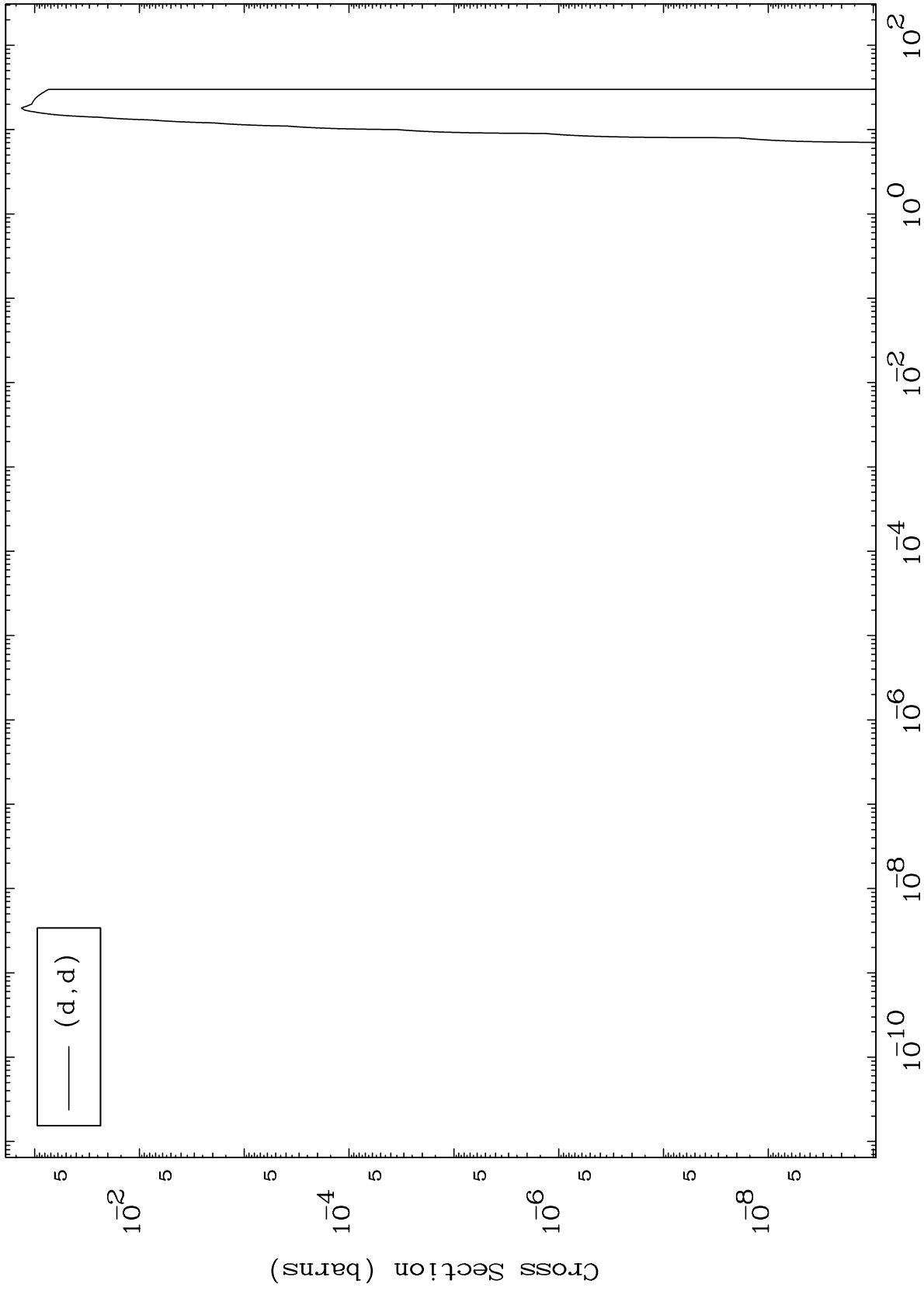
81-Tl-195



MAT 8102

(d,d) Levels  
0 Kelvin Cross Sections

81-Tl-195



8

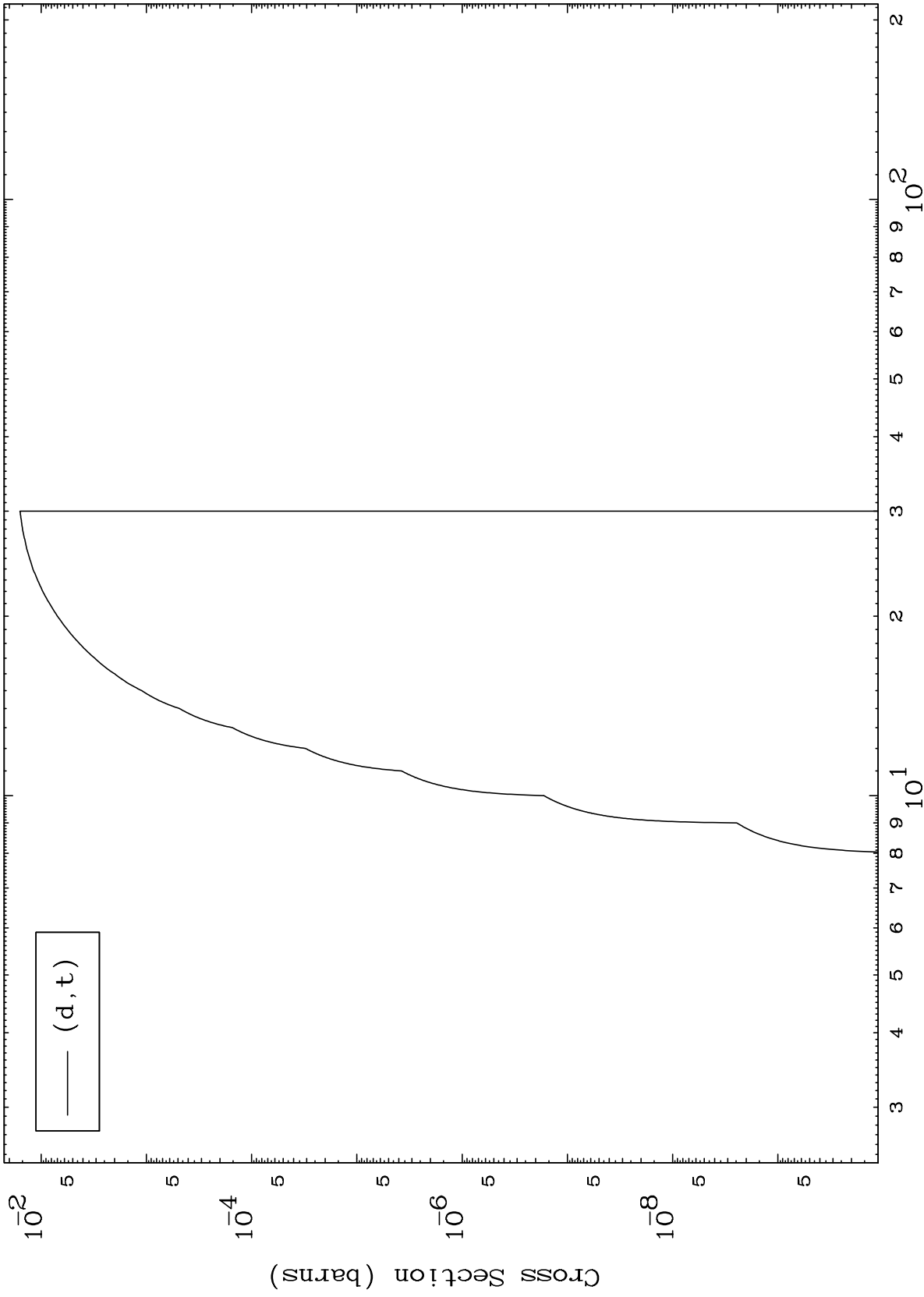
Incident Energy (MeV)

81-Tl-195

MAT 8102

(d,t) Levels  
0 Kelvin Cross Sections

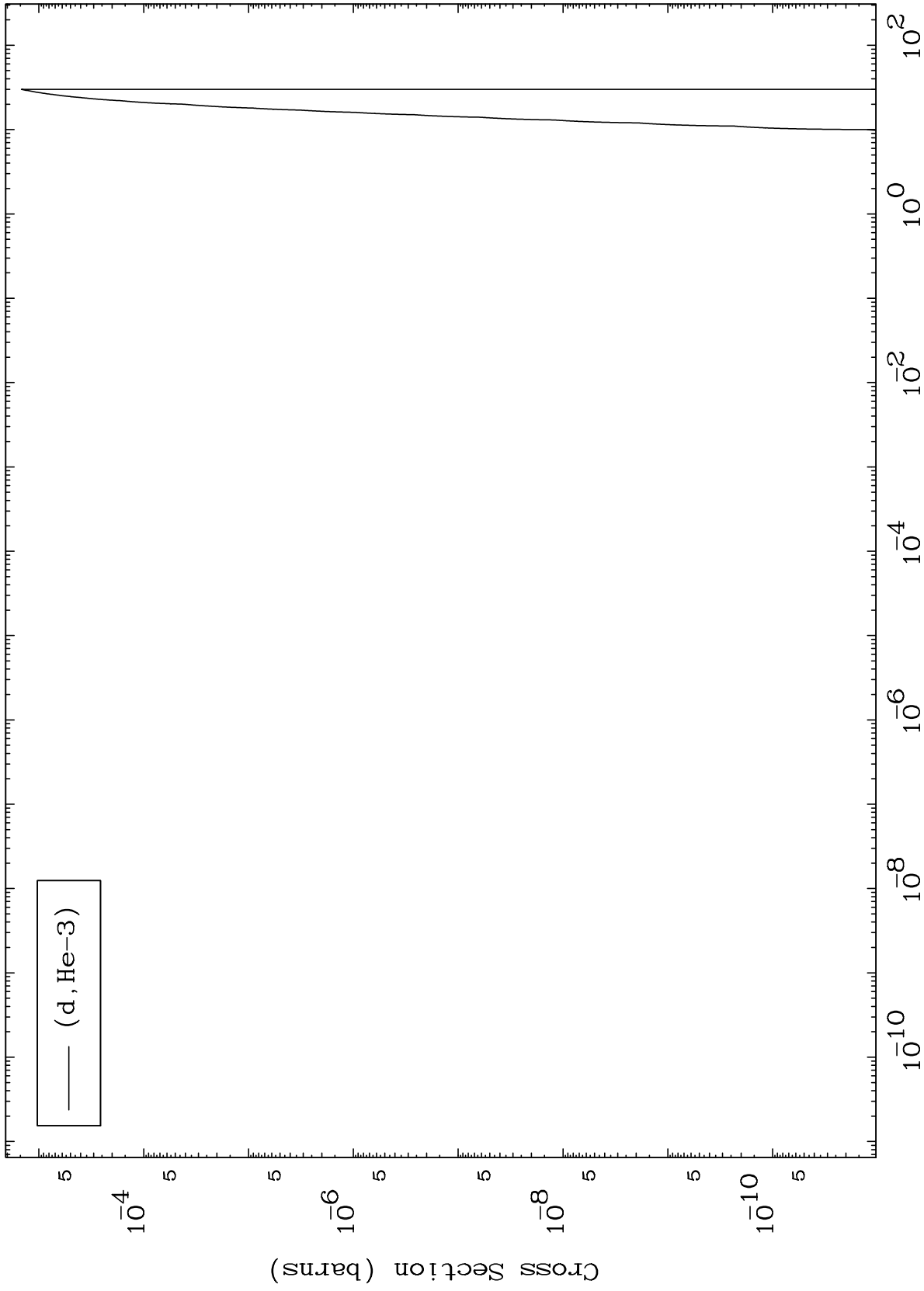
81-Tl-195



MAT 8102

(d,He3) Levels  
0 Kelvin Cross Sections

81-T1-195



10

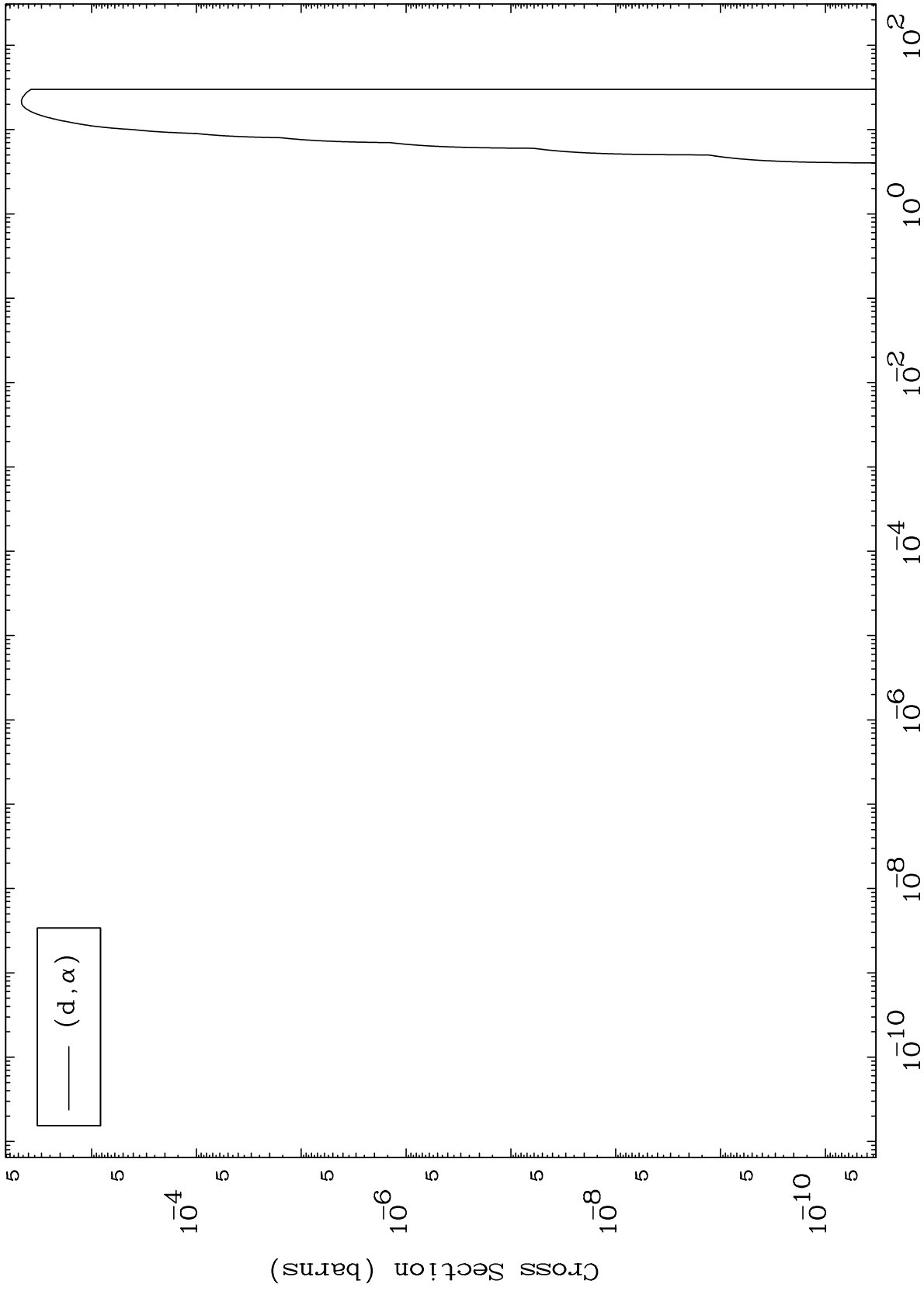
Incident Energy (MeV)

81-T1-195

MAT 8102

(d, $\alpha$ ) Levels  
0 Kelvin Cross Sections

81-T1-195



11

Incident Energy (MeV)

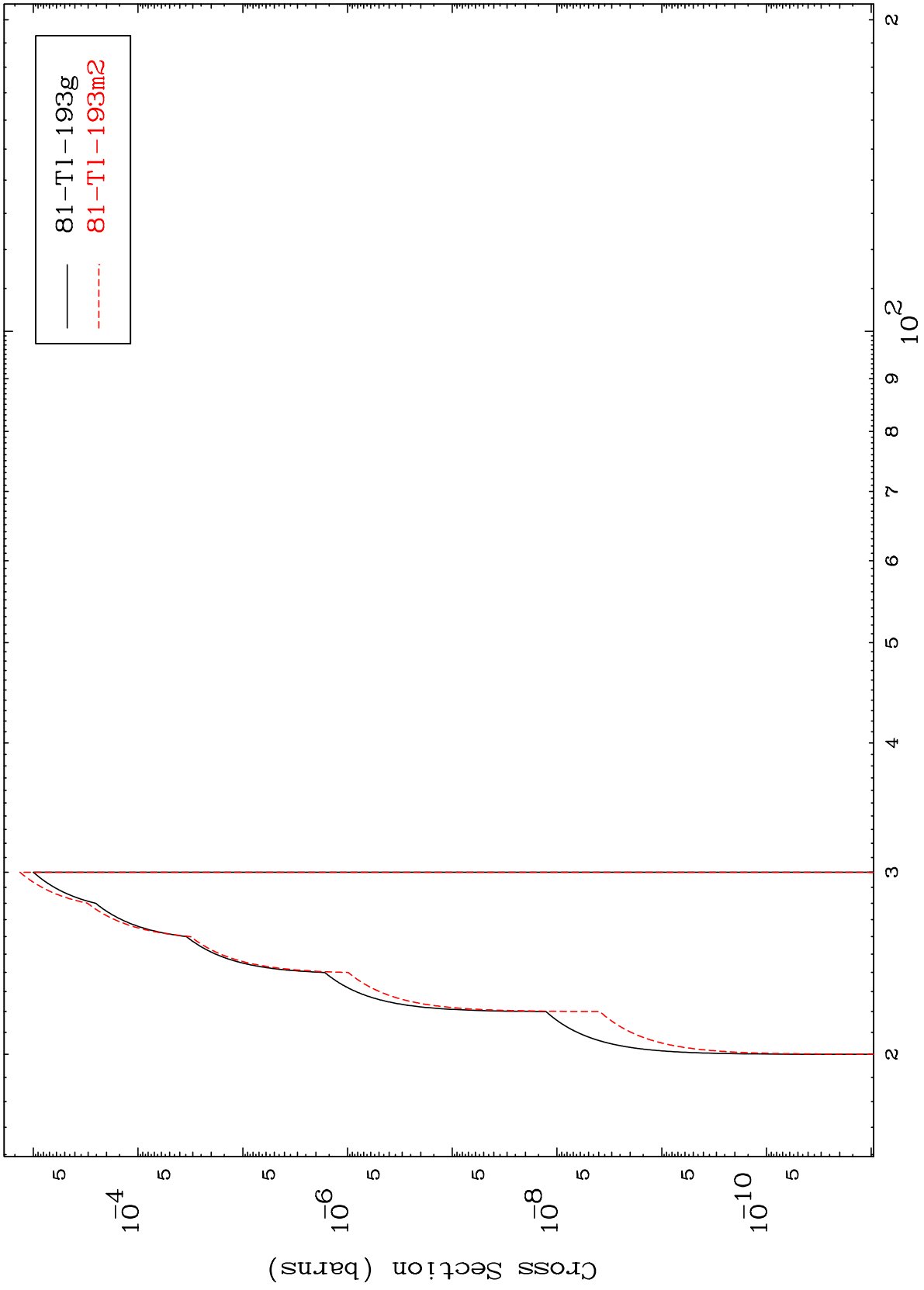
81-T1-195

MAT 8102

(d,2n) d

81-Tl-195

Radionuclide Production Cross Section



12

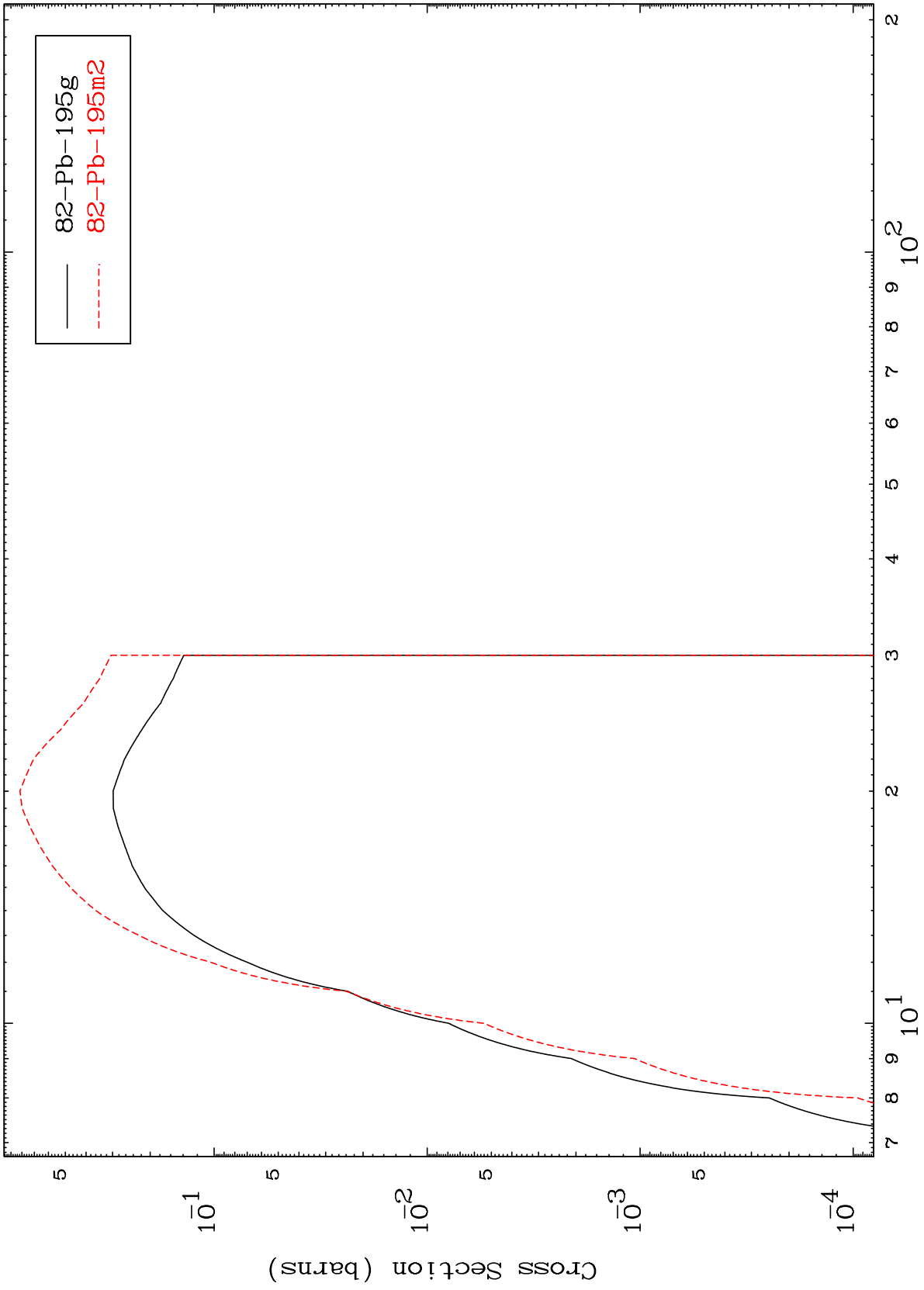
Incident Energy (MeV)

81-Tl-195

MAT 8102

81-T1-195

(d,2n)  
Radionuclide Production Cross Section



13

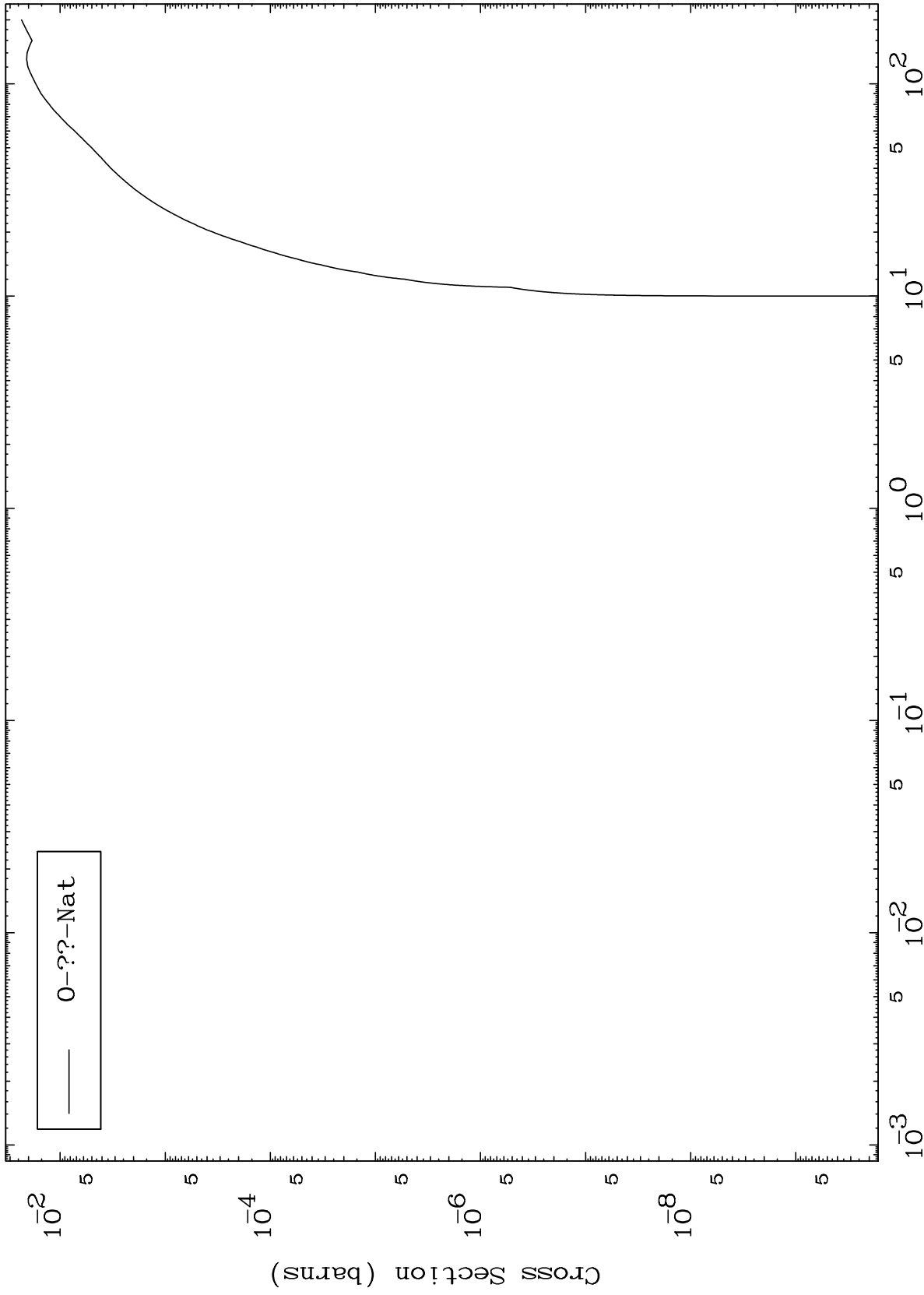
Incident Energy (MeV)

81-T1-195

MAT 8102

Deuteron Fission  
Radionuclide Production Cross Section

81-Tl-195



14

Incident Energy (MeV)

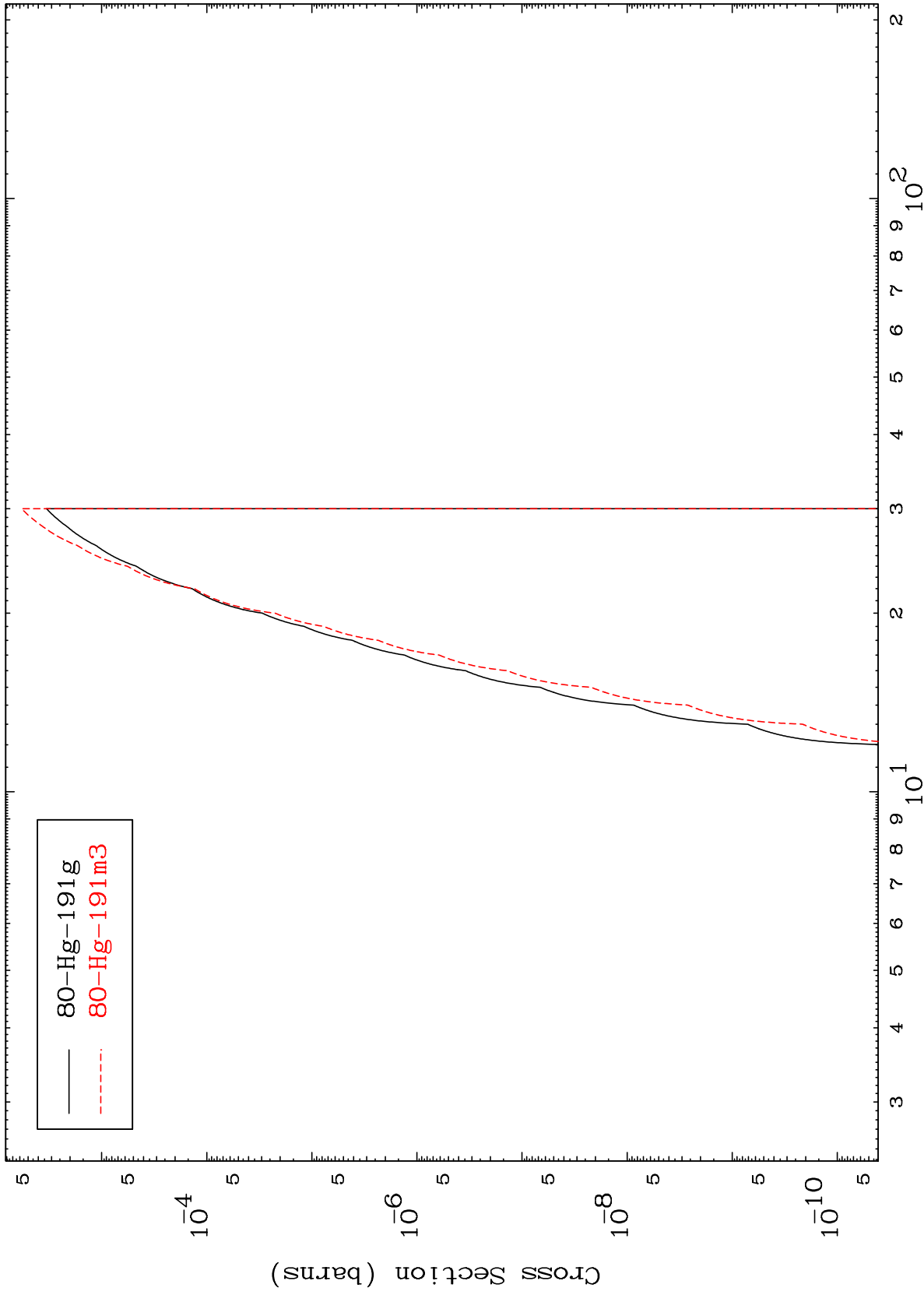
81-Tl-195

MAT 8102

(d,2n)  $\alpha$

81-Tl-195

Radionuclide Production Cross Section



15

Incident Energy (MeV)

81-Tl-195

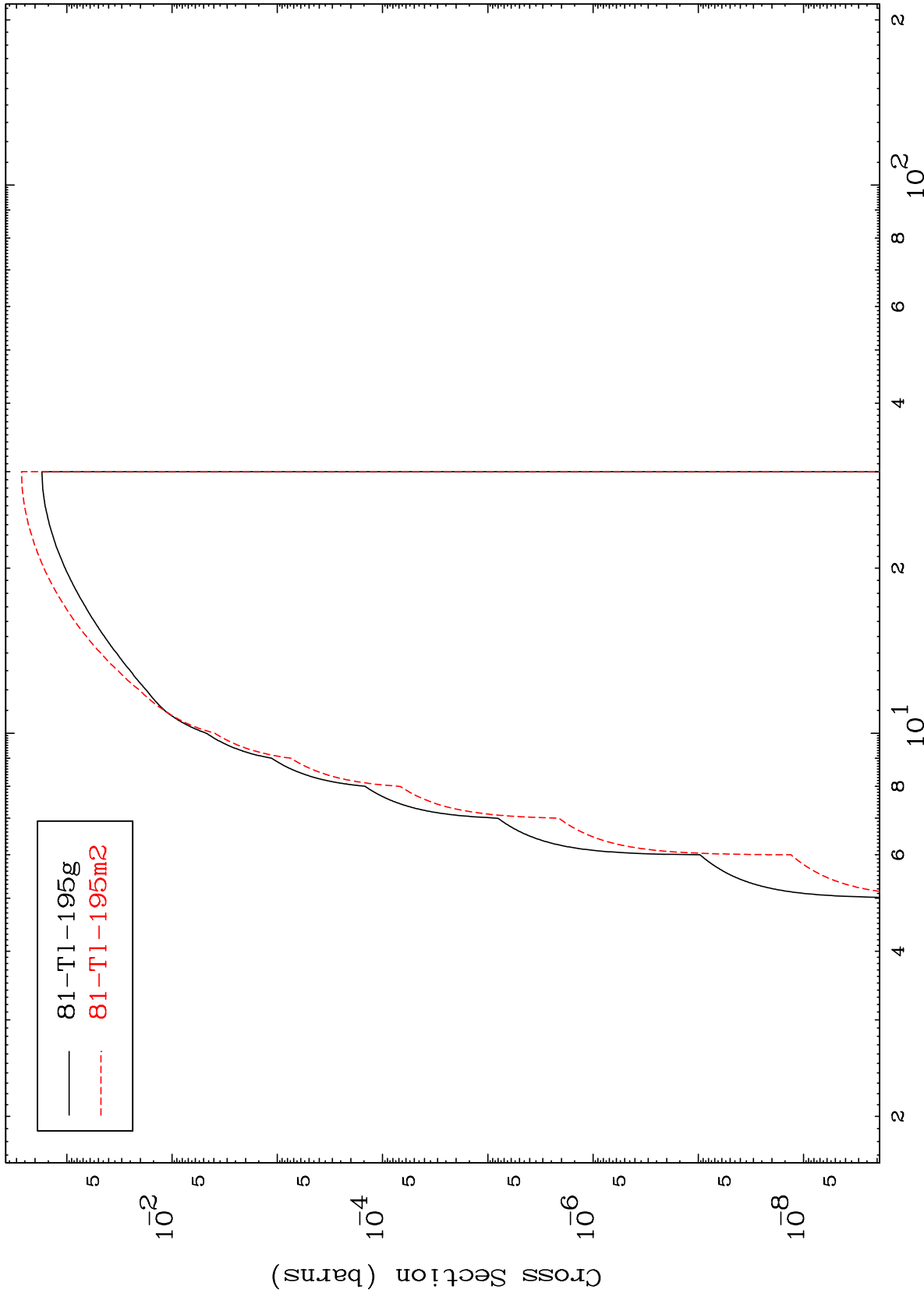


MAT 8102

(d,n') p

81-Tl-195

Radionuclide Production Cross Section



16

Incident Energy (MeV)

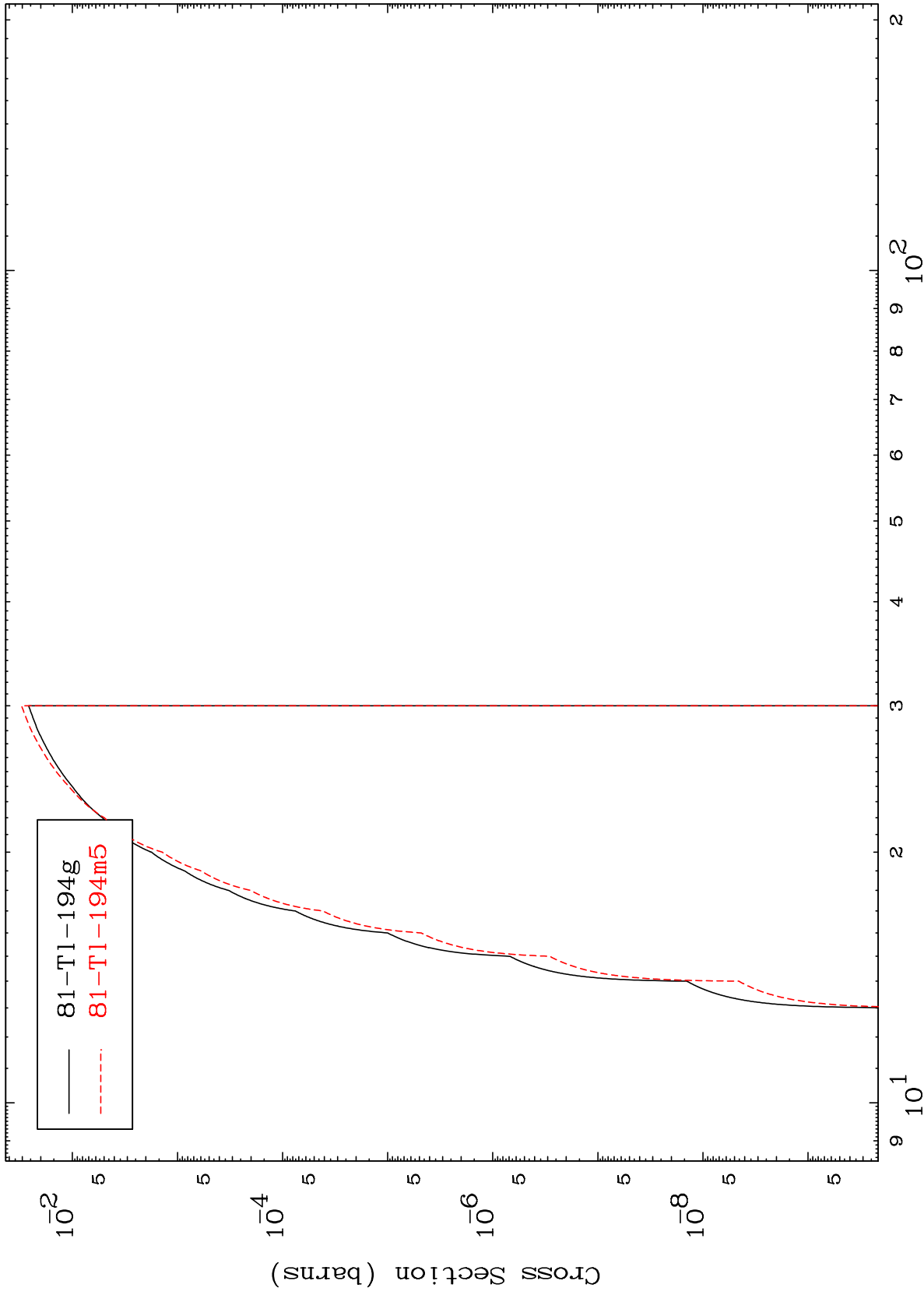
81-Tl-195

MAT 8102

(d,n') d

81-Tl-195

Radionuclide Production Cross Section



17

Incident Energy (MeV)

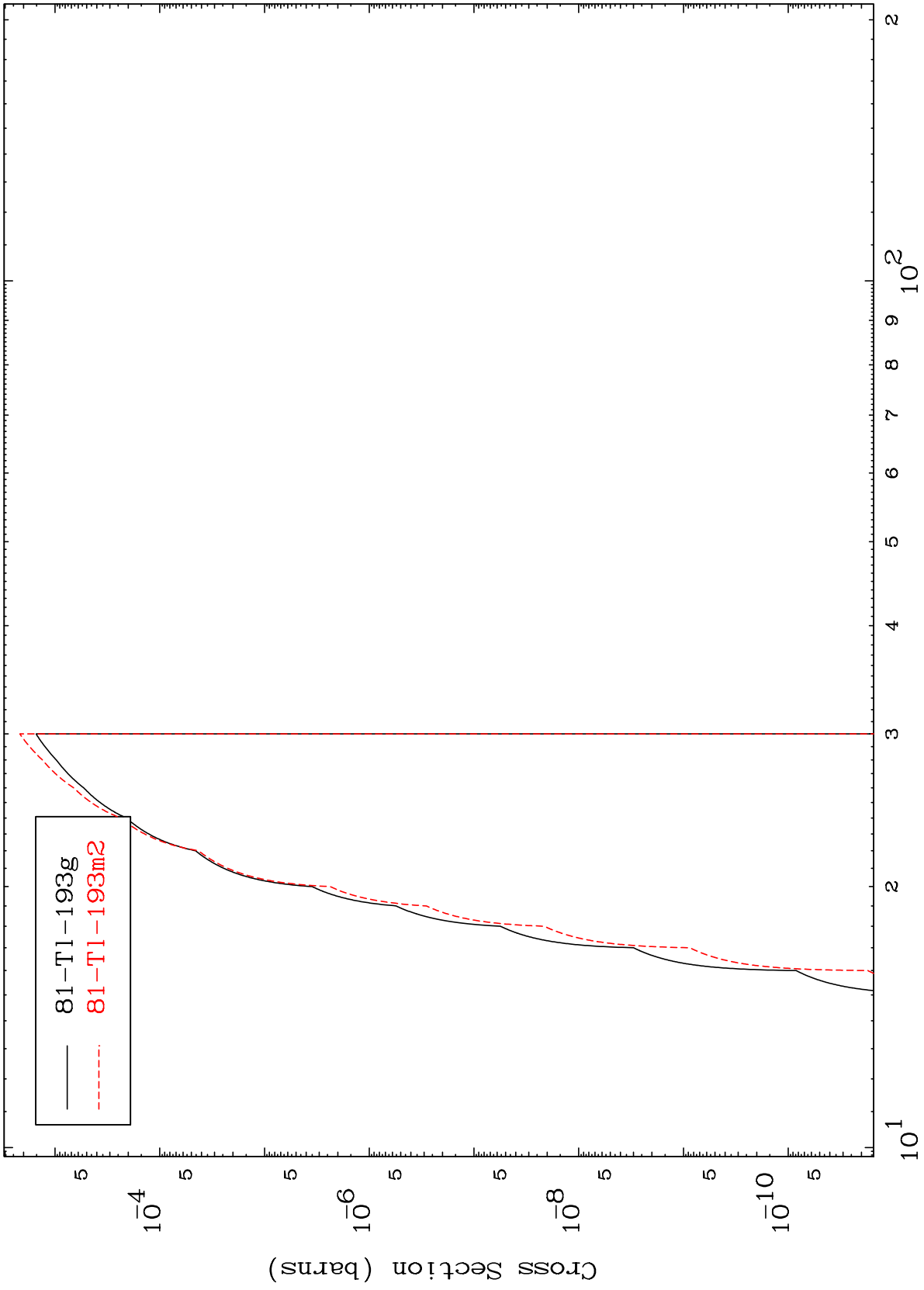
81-Tl-195

MAT 8102

(d,n') t

81-Tl-195

Radionuclide Production Cross Section



18

Incident Energy (MeV)

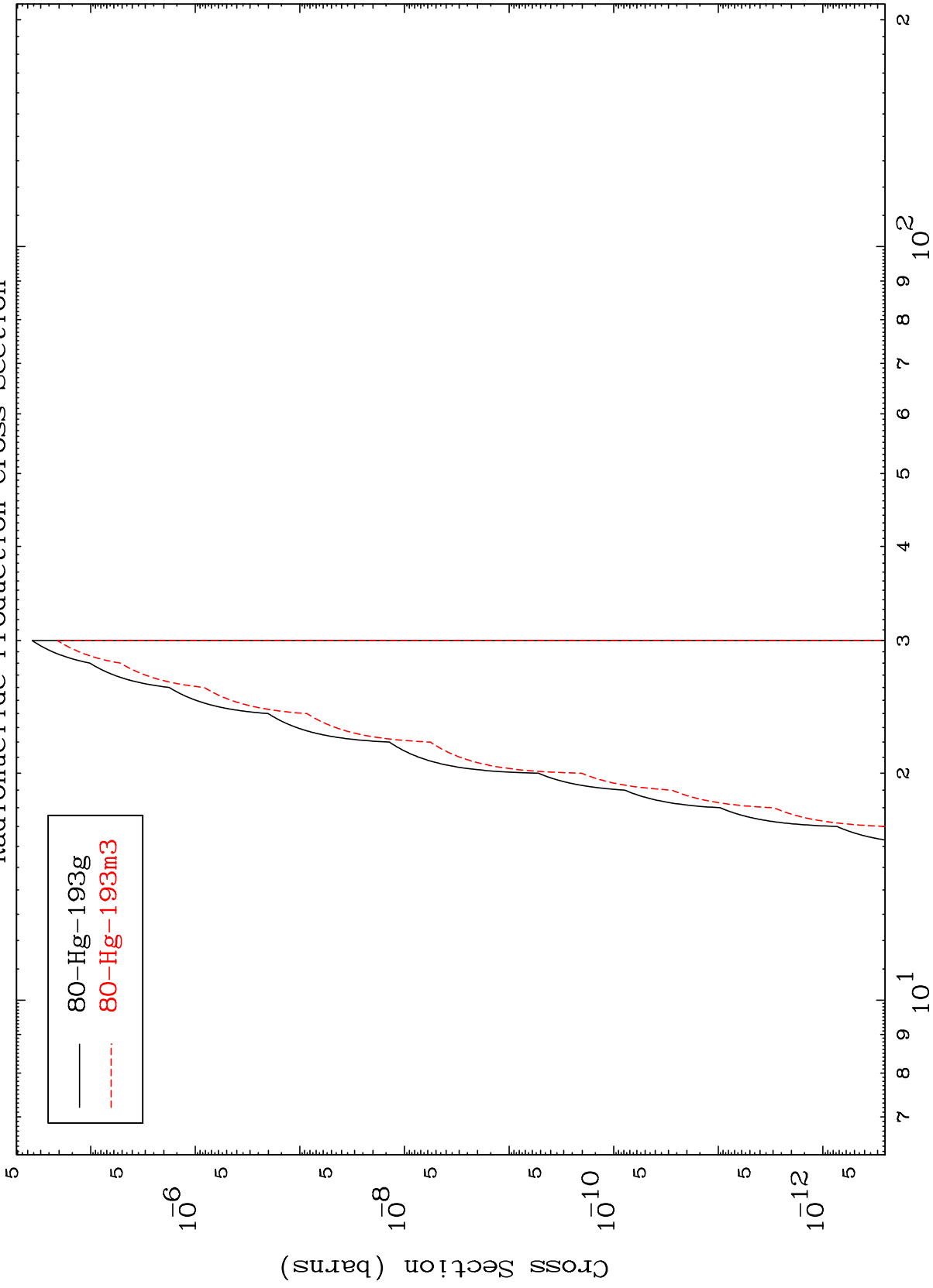
81-Tl-195

MAT 8102

(d, n') He-3

81-T1-195

Radionuclide Production Cross Section



19

Incident Energy (MeV)

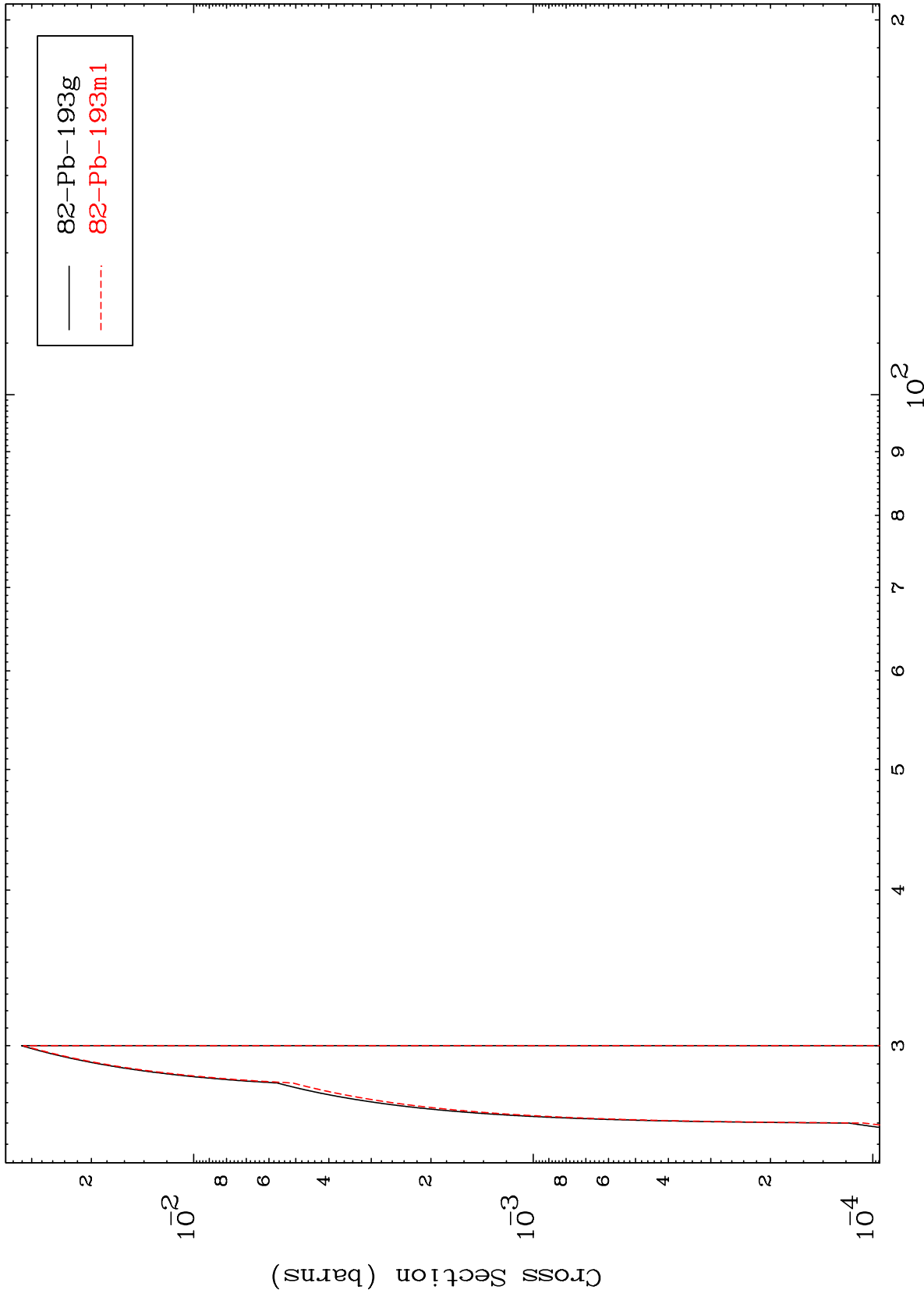
81-T1-195

MAT 8102

(d,4n)

81-Tl-195

Radionuclide Production Cross Section



20

Incident Energy (MeV)

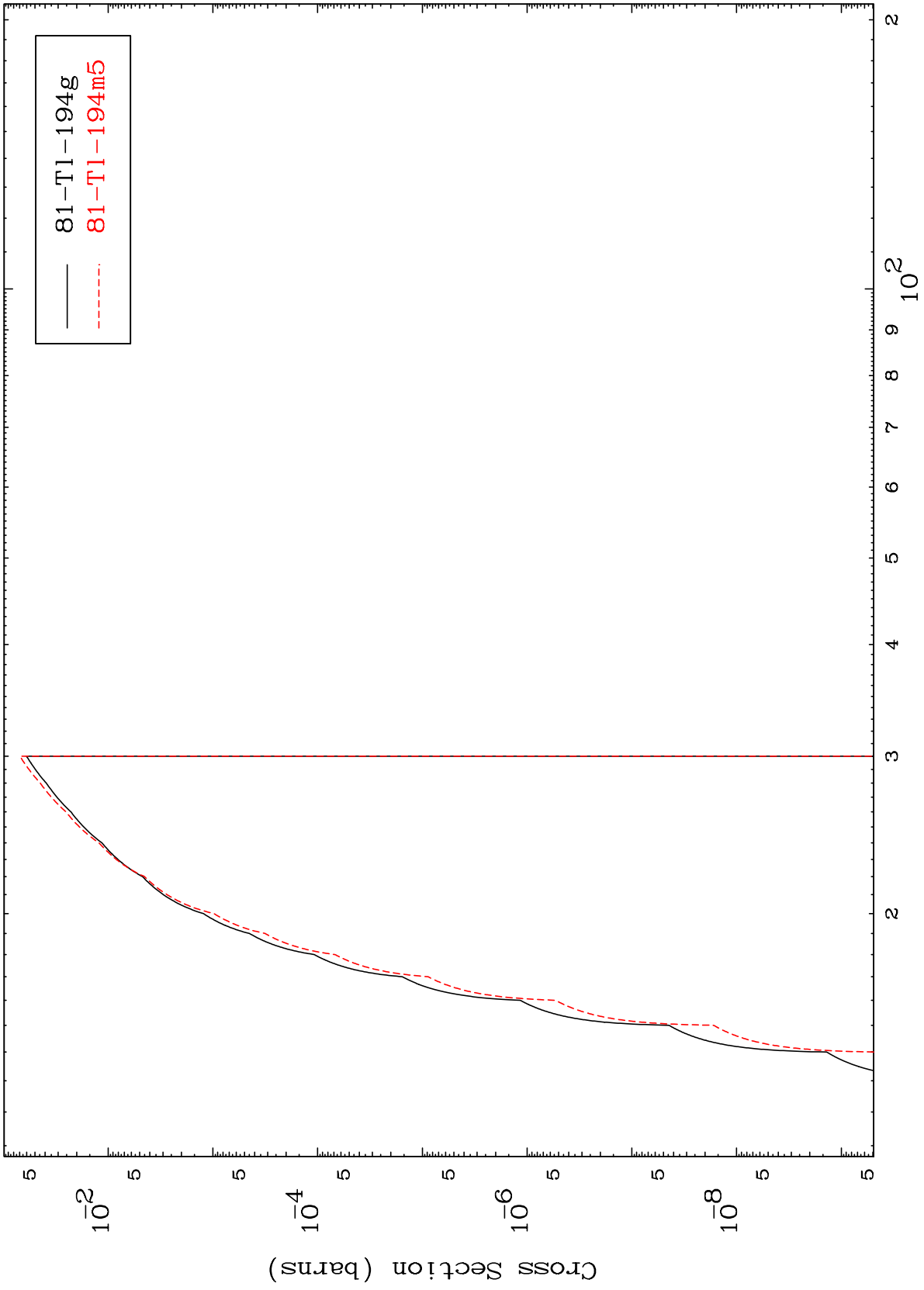
81-Tl-195

MAT 8102

(d,2n) p

81-Tl-195

Radionuclide Production Cross Section



21

Incident Energy (MeV)

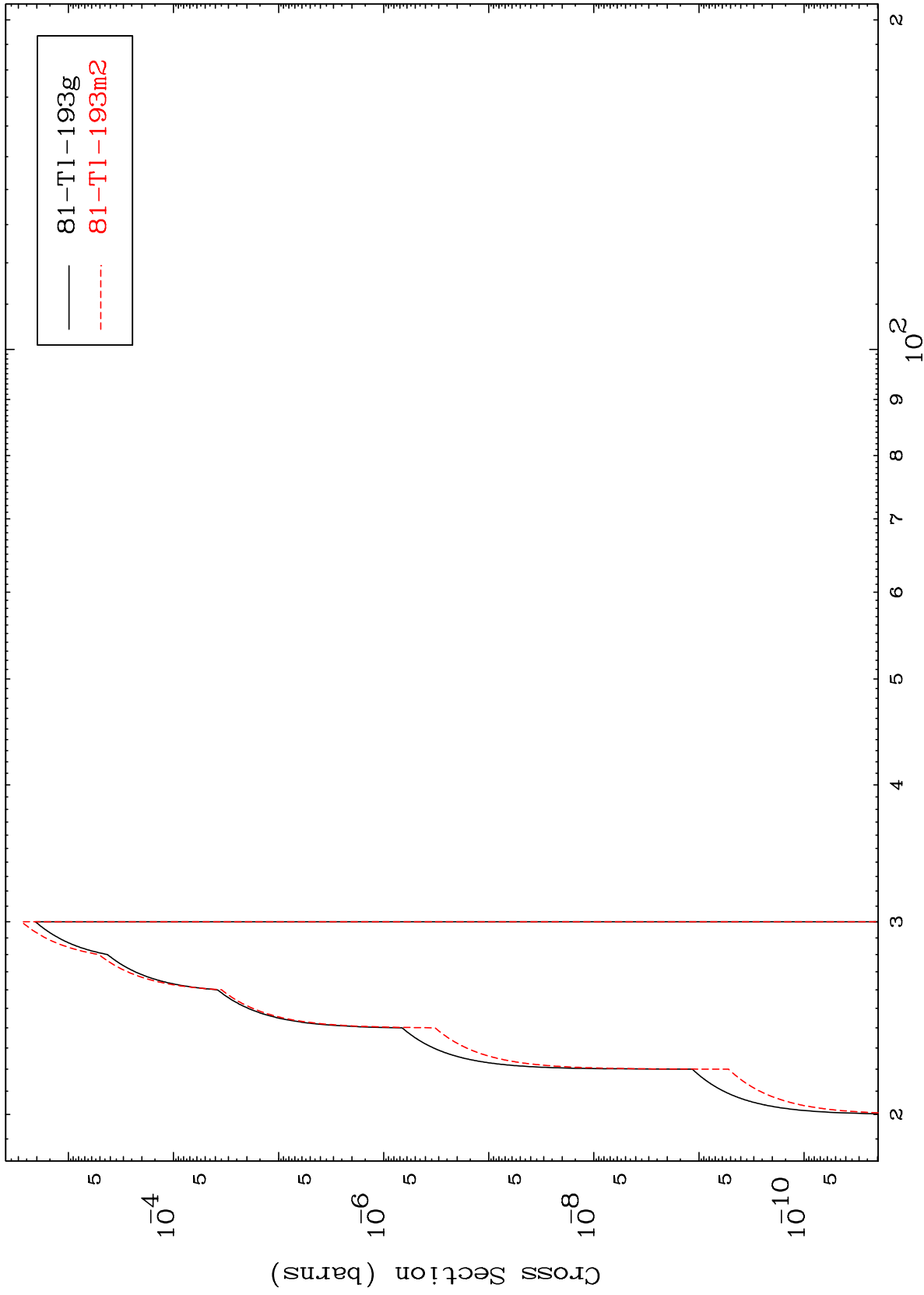
81-Tl-195

MAT 8102

(d,3n) p

81-Tl-195

Radionuclide Production Cross Section



22

Incident Energy (MeV)

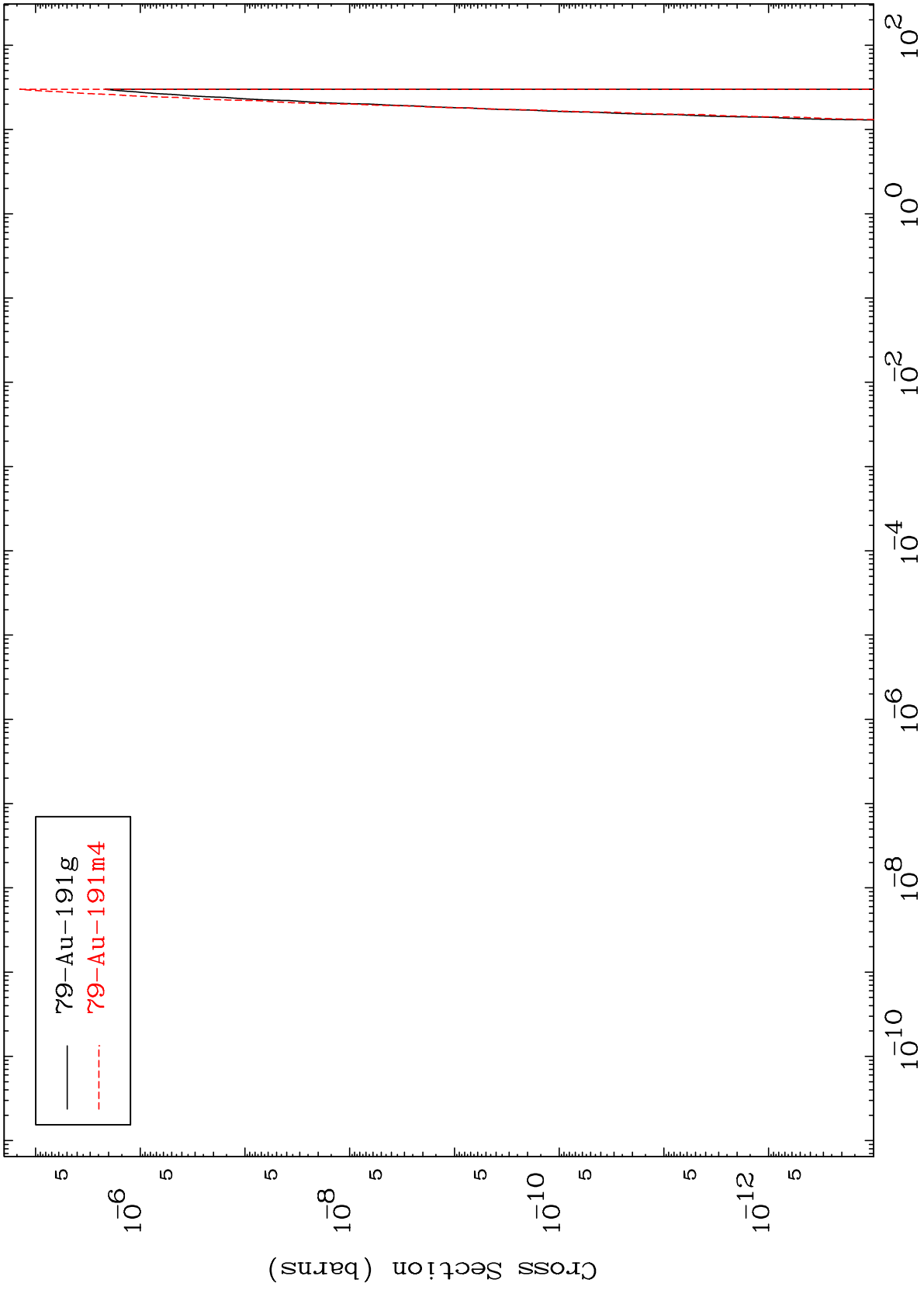
81-Tl-195

MAT 8102

(d,n') p  $\alpha$

81-Tl-195

Radionuclide Production Cross Section



23

Incident Energy (MeV)

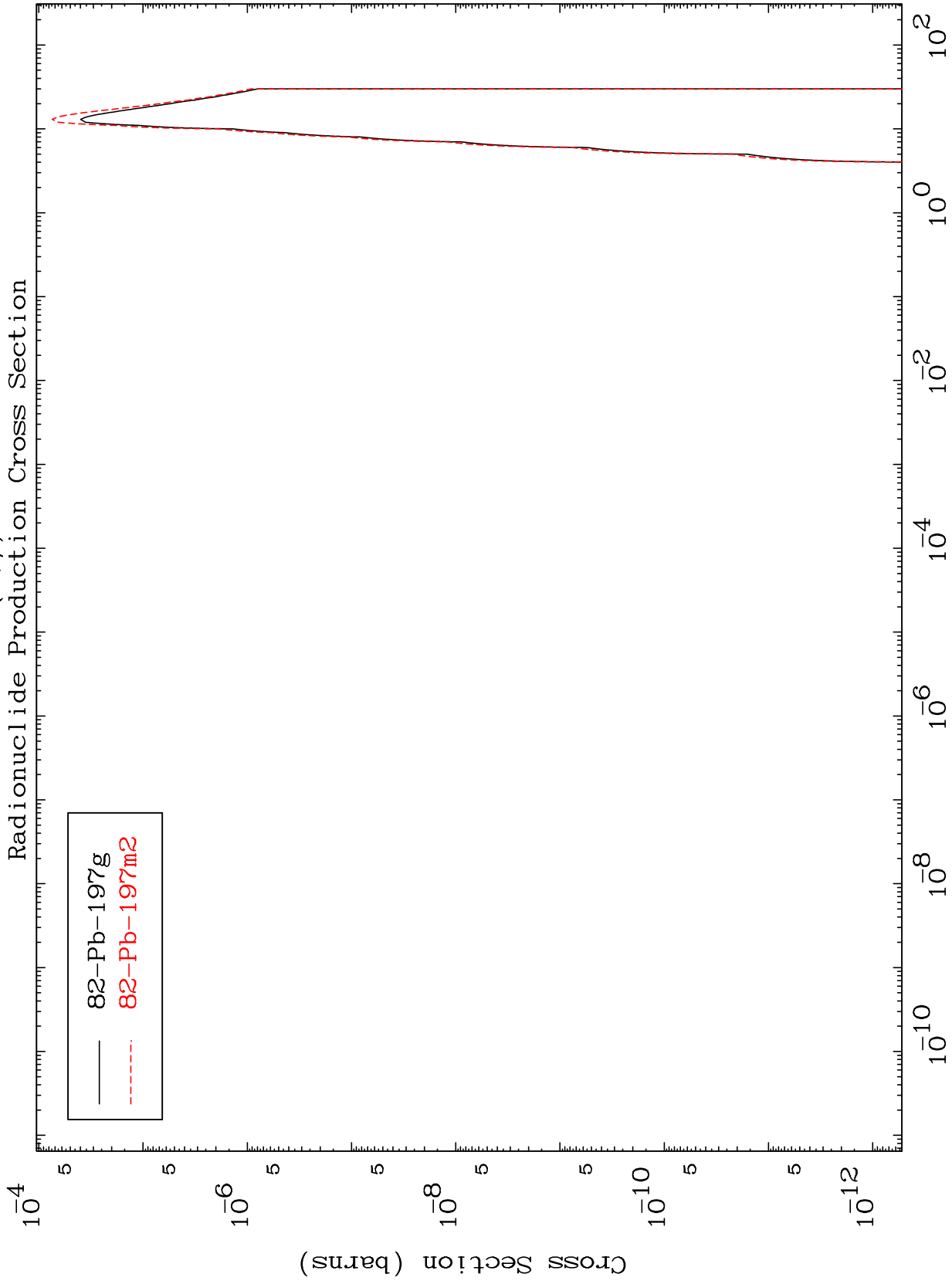
81-Tl-195



MAT 8102

(d,  $\gamma$ )  
Radionuclide Production Cross Section

81-Tl-195

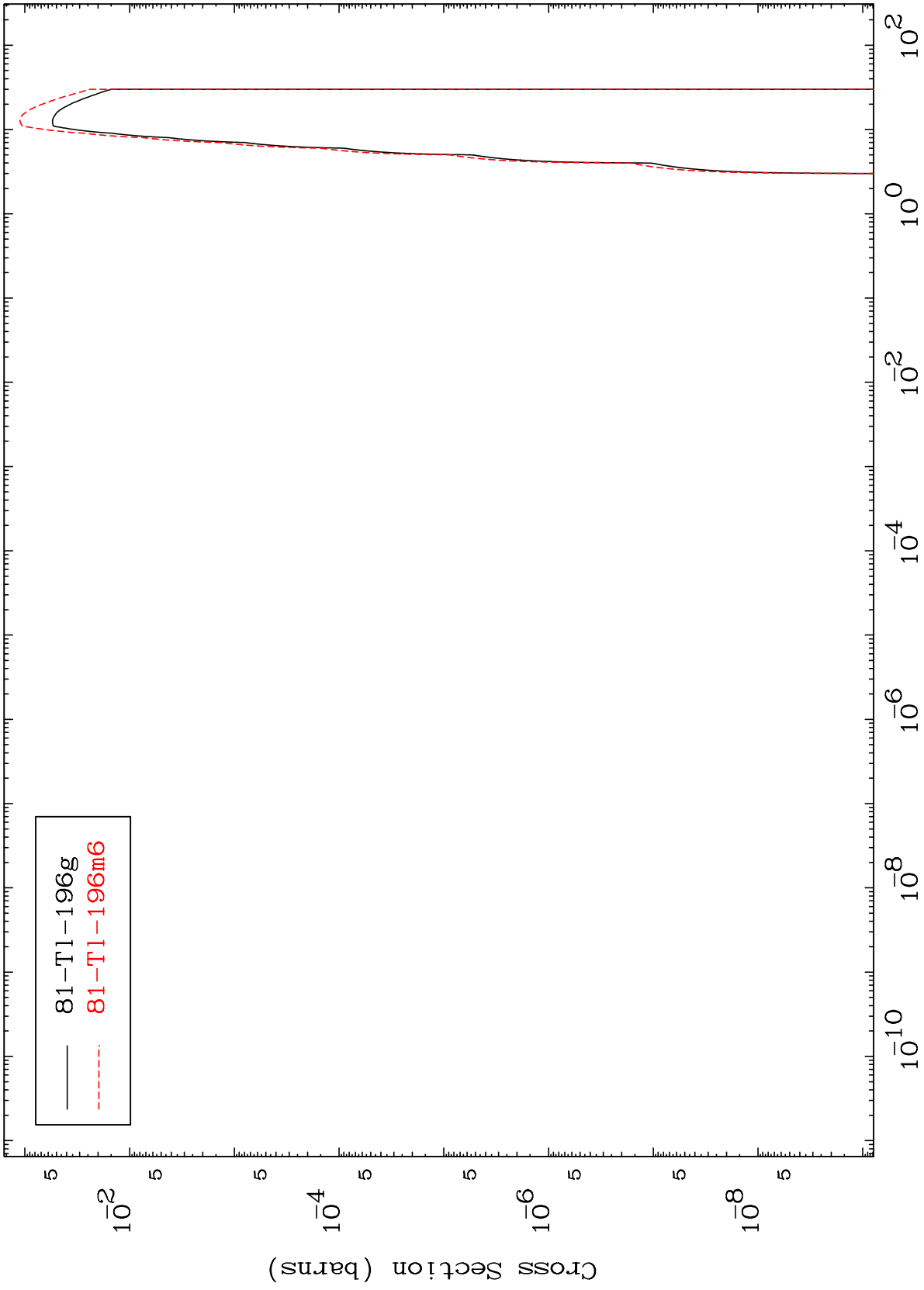


81-Tl-195

MAT 8102

(d,p)  
Radionuclide Production Cross Section

81-Tl-195



25

Incident Energy (MeV)

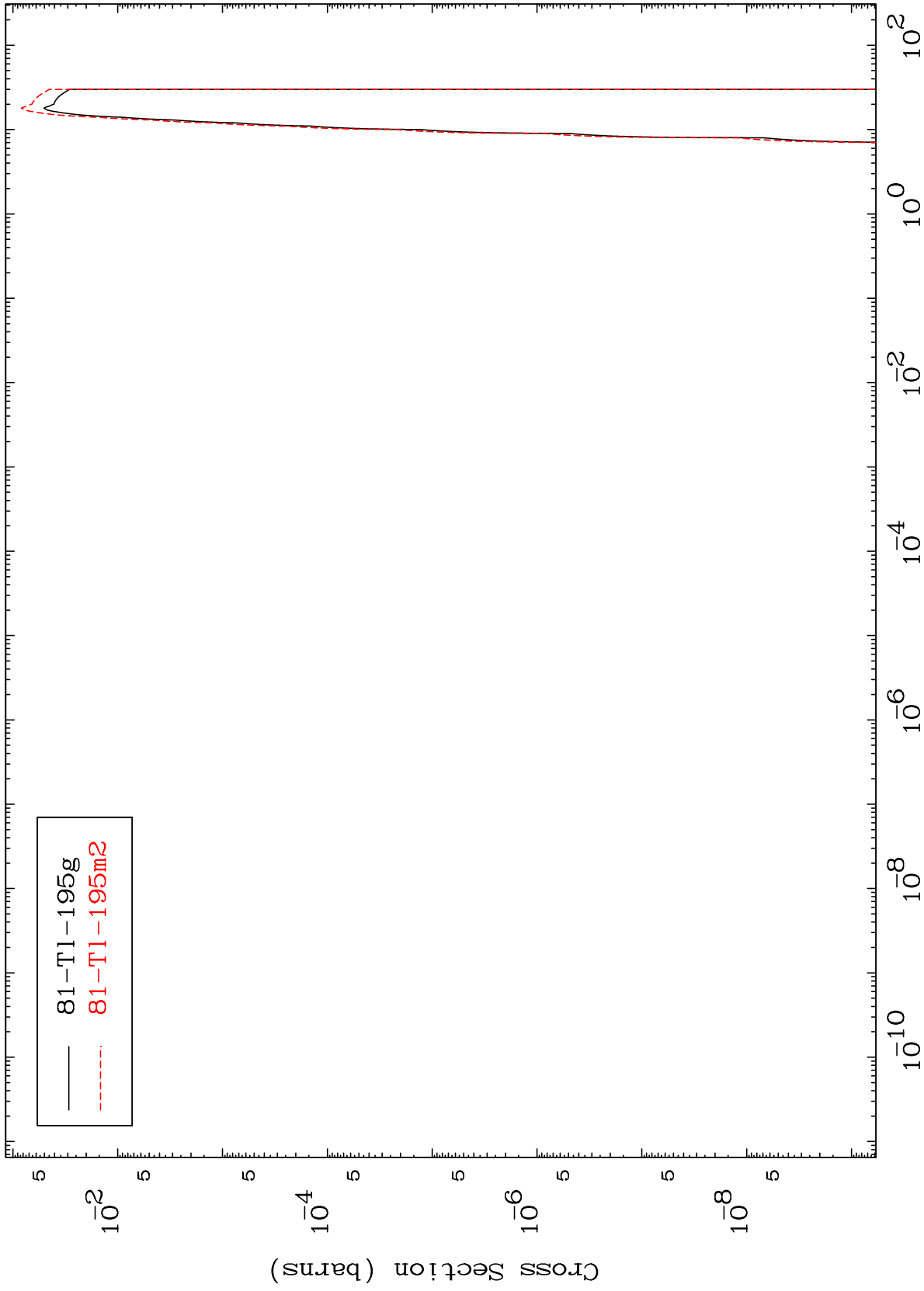
81-Tl-195

MAT 8102

(d,d)

81-Tl-195

Radionuclide Production Cross Section

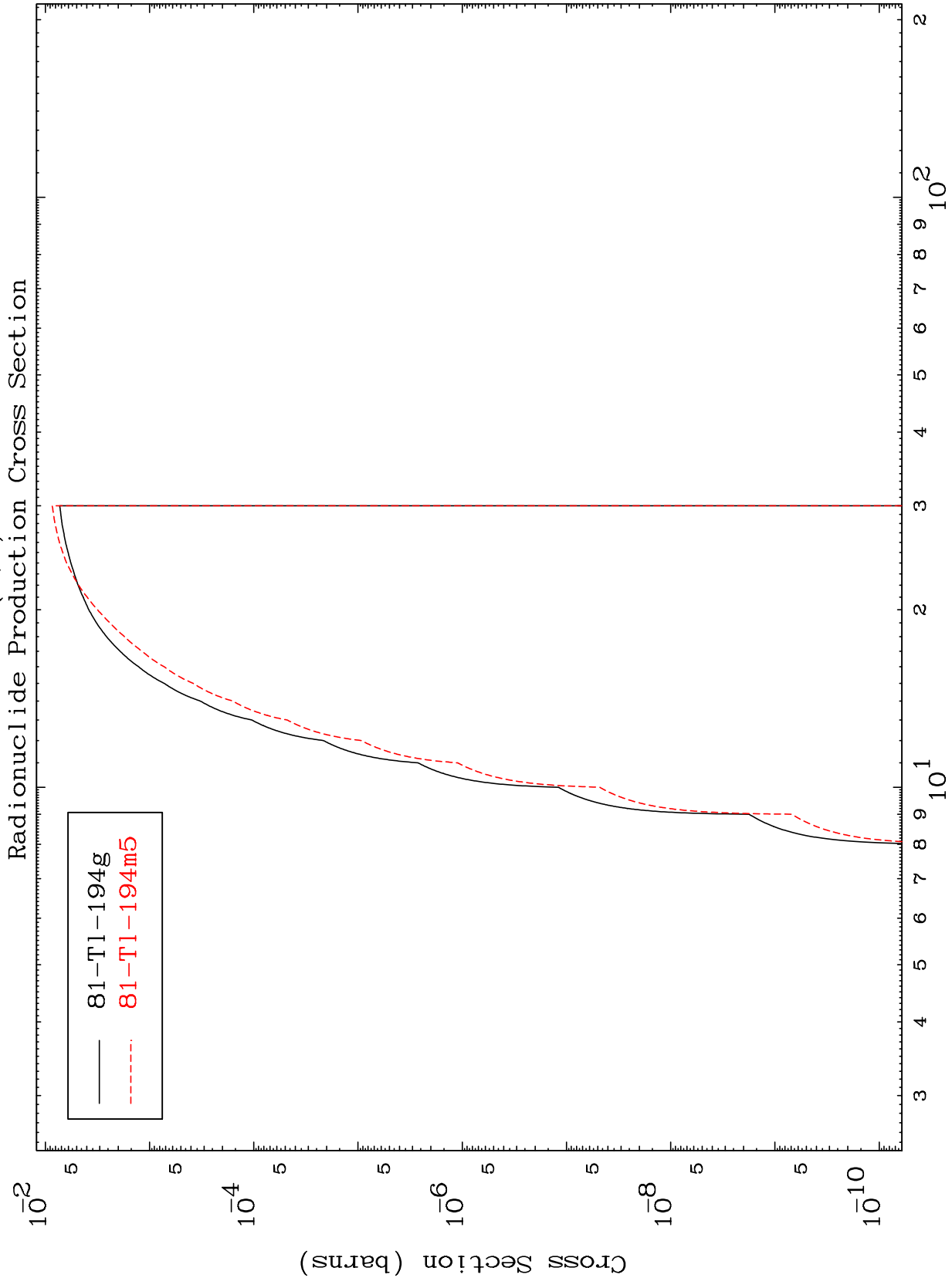


26

81-Tl-195

MAT 8102

81-Tl-195



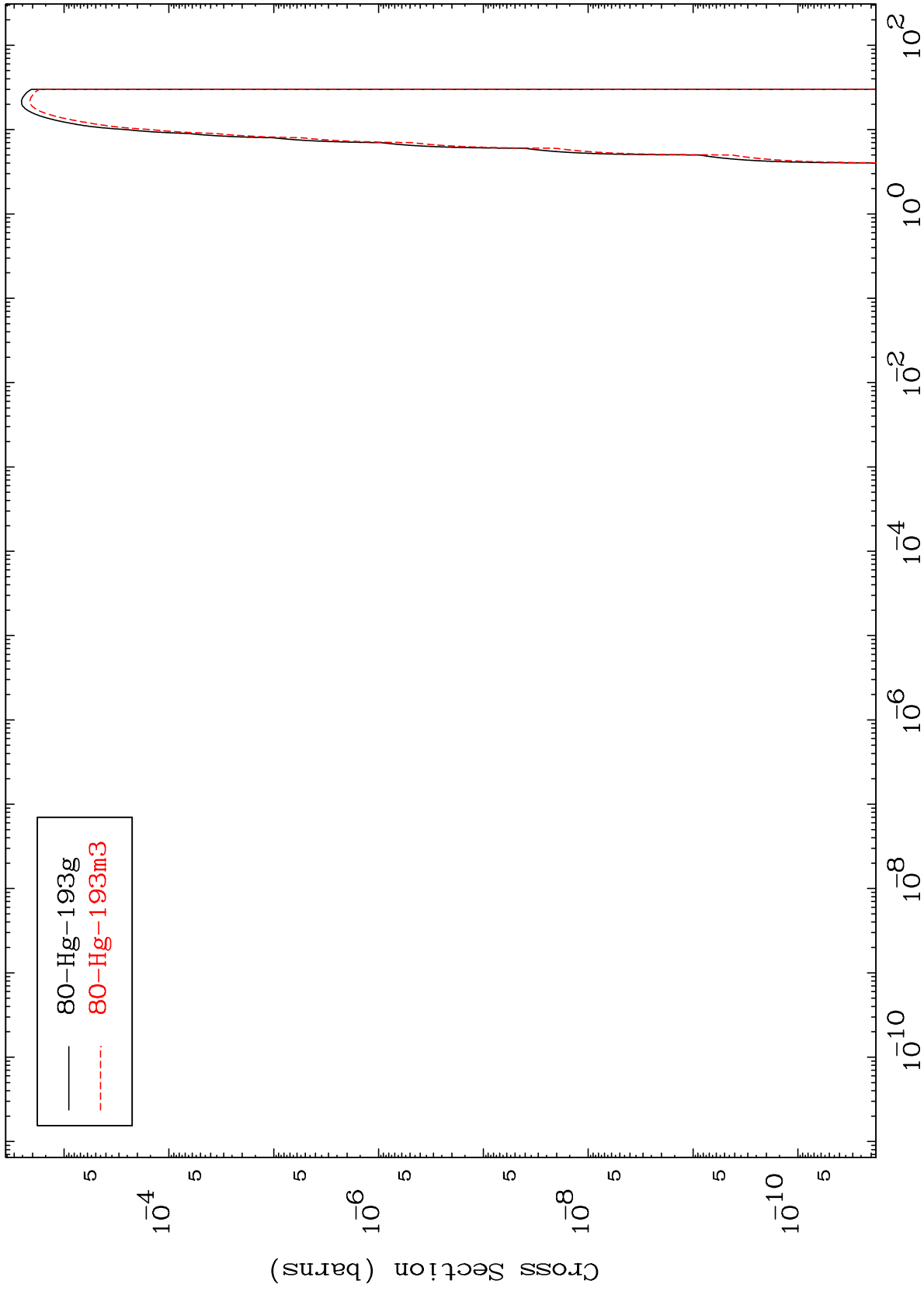
81-Tl-194g  
81-Tl-194m5

MAT 8102

(d,  $\alpha$ )

81-T1-195

Radionuclide Production Cross Section



28

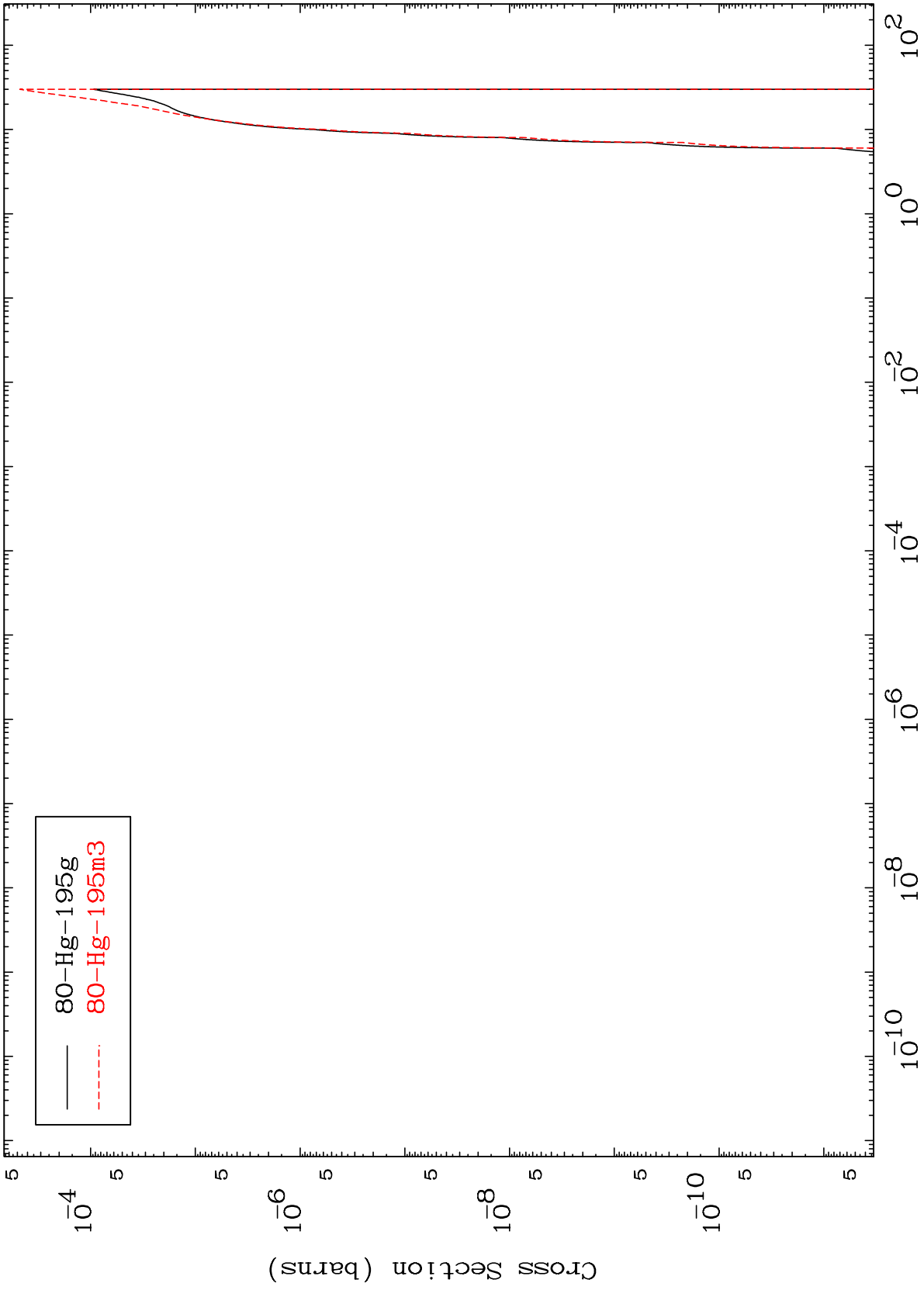
Incident Energy (MeV)

81-T1-195

MAT 8102

(d,2p)  
Radionuclide Production Cross Section

81-Tl-195



29

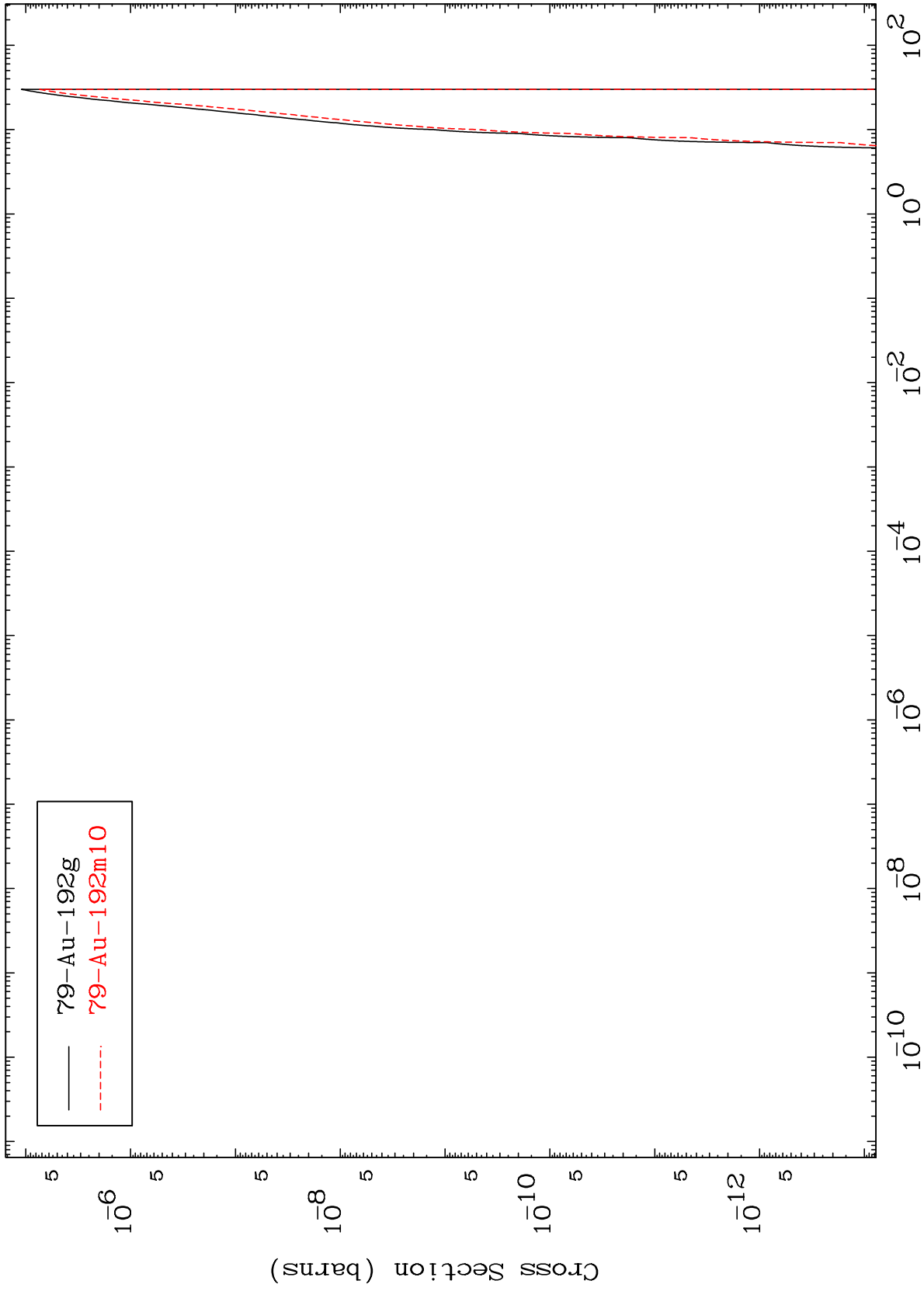
81-Tl-195

MAT 8102

(d,p)  $\alpha$

81-Tl-195

Radionuclide Production Cross Section



30

Incident Energy (MeV)

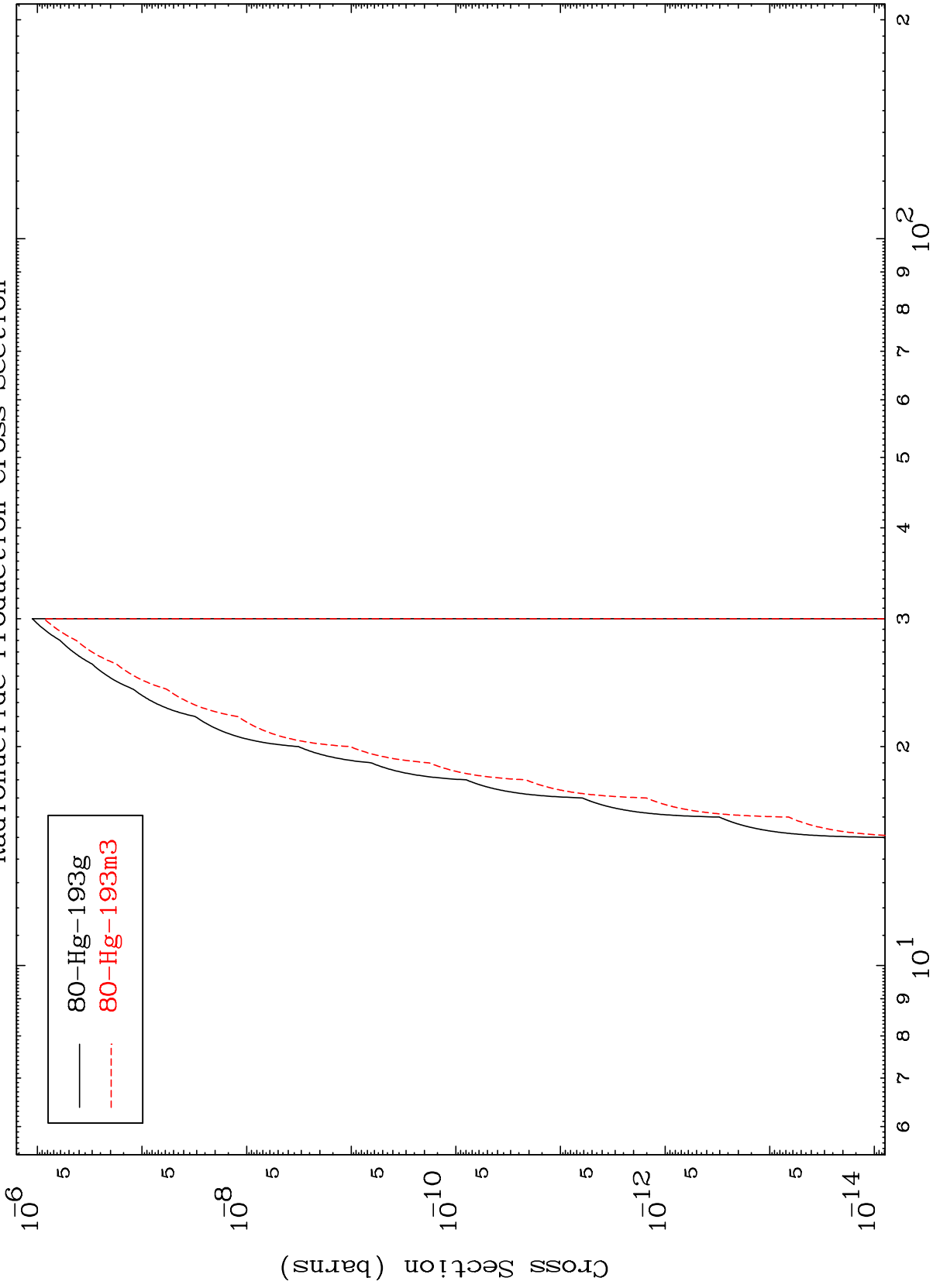
81-Tl-195

MAT 8102

(d,p) t

81-T1-195

Radionuclide Production Cross Section



31

Incident Energy (MeV)

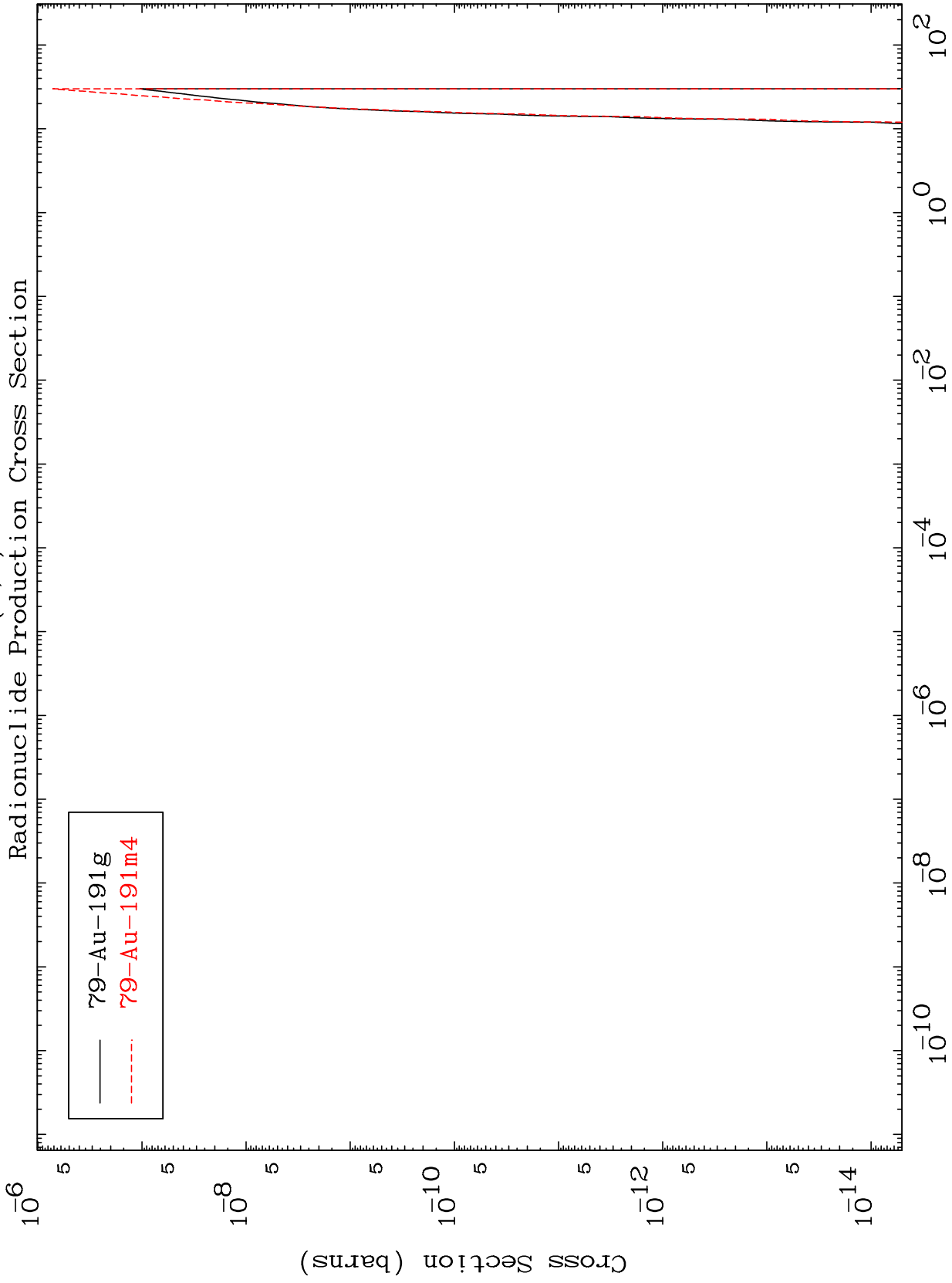
81-T1-195



MAT 8102

(d,d)  $\alpha$

81-Tl-195



32

81-Tl-195